

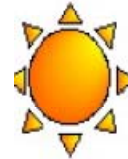
X線マイクロトモグラフィーを用いた 星周ダストアグリゲイト模擬物質の解析

今井悠太¹, 土山明¹, Jurgen Blum²,
上杉健太郎³, 竹内晃久³, 中野司⁴, 上楣真之¹,

- 1) 阪大・理 2) TU Braunschweig,
3) SPring-8/JASRI, 4) GSJ/AIST

Introduction

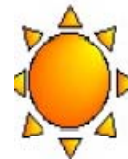
固体微粒子(ダスト)の付着成長($\sim \mu\text{m}$)
→ ダストアグリゲイト



protoplanetary disk



微惑星の形成 ($> \text{km}$)



原始惑星系円盤内のダスト
アグリゲイトの構造の変化

Planet formation



→ 微惑星形成・進化過程を理解するためには、ダスト
アグリゲイトの**構造**を調べることが重要。

Previous studies

- Numerical simulation

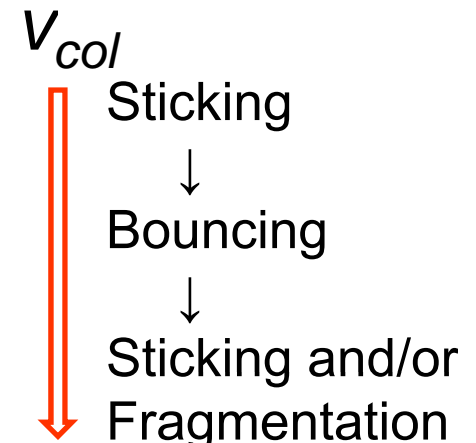
ダストアグリゲーションの過程や、その3次元構造の変化を明らかにした。

BCCA (e.g., Wada et al. 2007, 2008; Suyama et al. 2008)
BPCA (e.g., Wada et al., 2008,2009)

- Experiments

ダストの直接合体成長に関して、その衝突速度とアグリゲイトの振る舞いについて明らかにした。

(e.g., Blum and Wurm, 2008, Gütler et al., 2010)



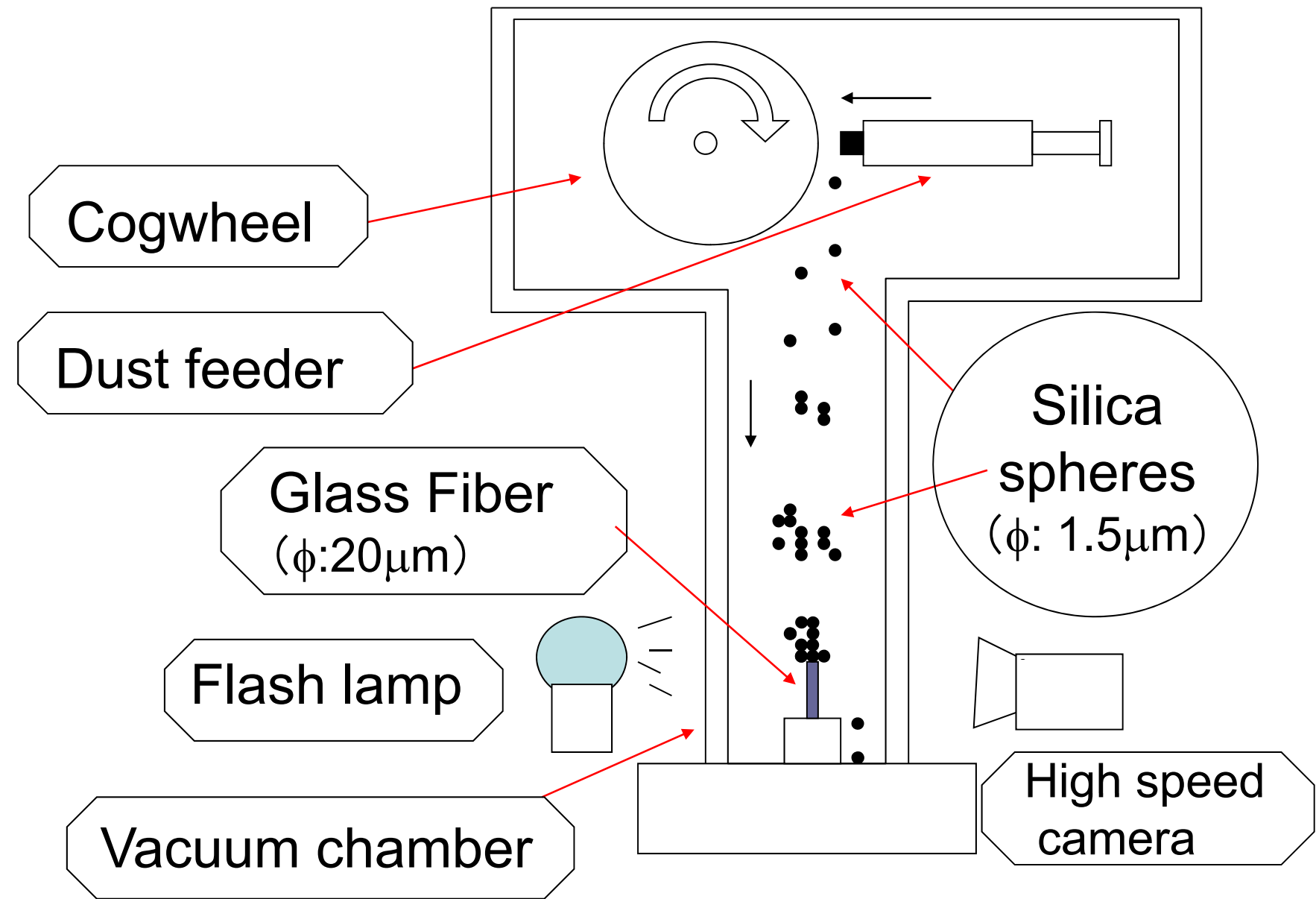
しかし、アグリゲイトの詳細な三次元構造については未だ実験的に明らかにされていない。

研究目的

- ダストアグリゲイトの3次元構造を実験的に明らかにする。

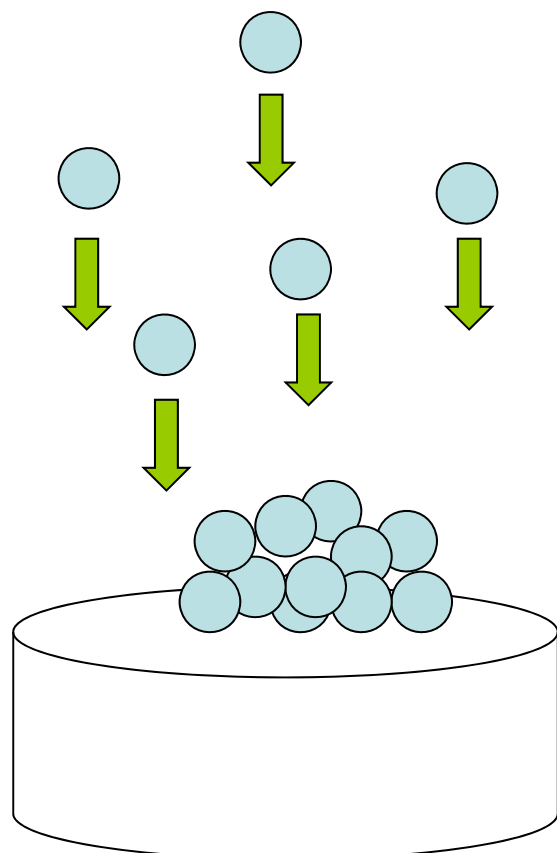
- ダストアグリゲイト模擬物質の作成
 - Random ballistic deposition (RBD) aggregates
- X線CTを用いたダストアグリゲイトの3次元構造の解析
 - fractal dimension,
 - coordination number
 - angle between particles

Sample preparation - Experimental set up -

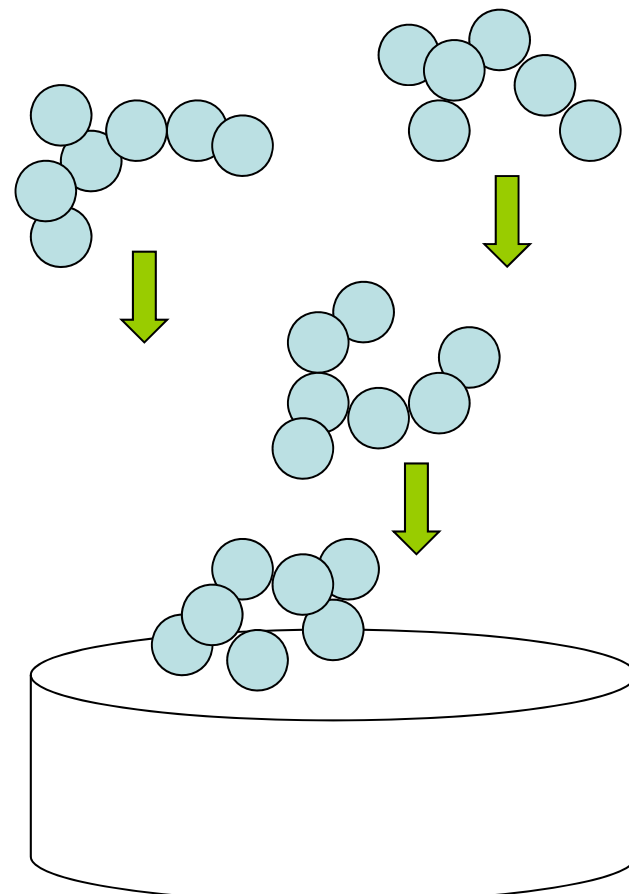


Sample preparation -Experimental condition-

- RBD (Random Ballistic Deposition) monomer

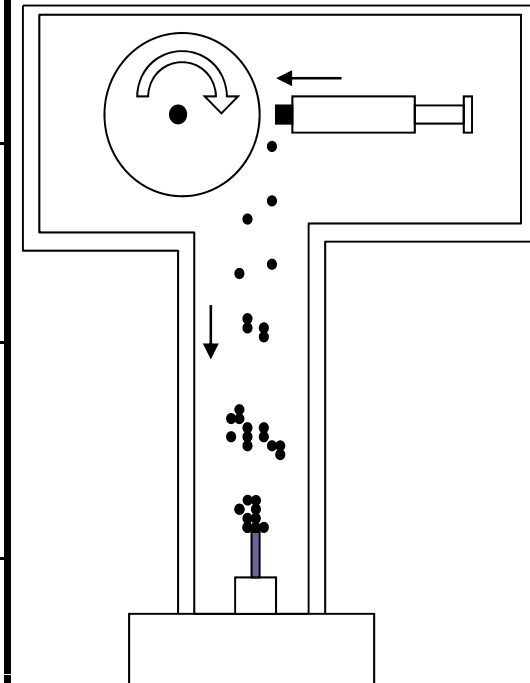


- RBD (Random Ballistic Deposition) cluster



Sample preparation -Experimental condition-

	RBD monomer	RBD cluster
Amounts of dust	small	large
Pressure	low (100Pa)	High (500Pa)
Distance	short	long



Sample preparation -Results-

- RBD (Random Ballistic Deposition) monomer

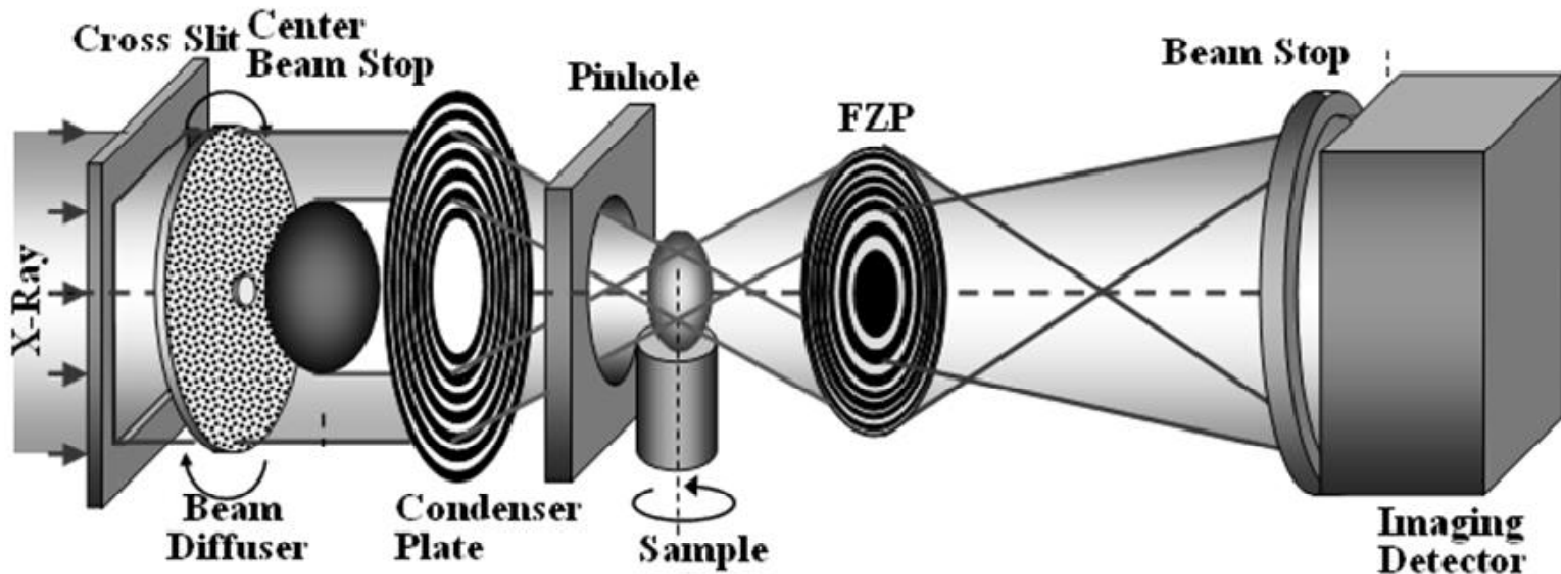


- RBD (Random Ballistic Deposition) cluster



Falling velocity : 0.1 – 1 m/s

X線トモグラフィーを用いた構造解析

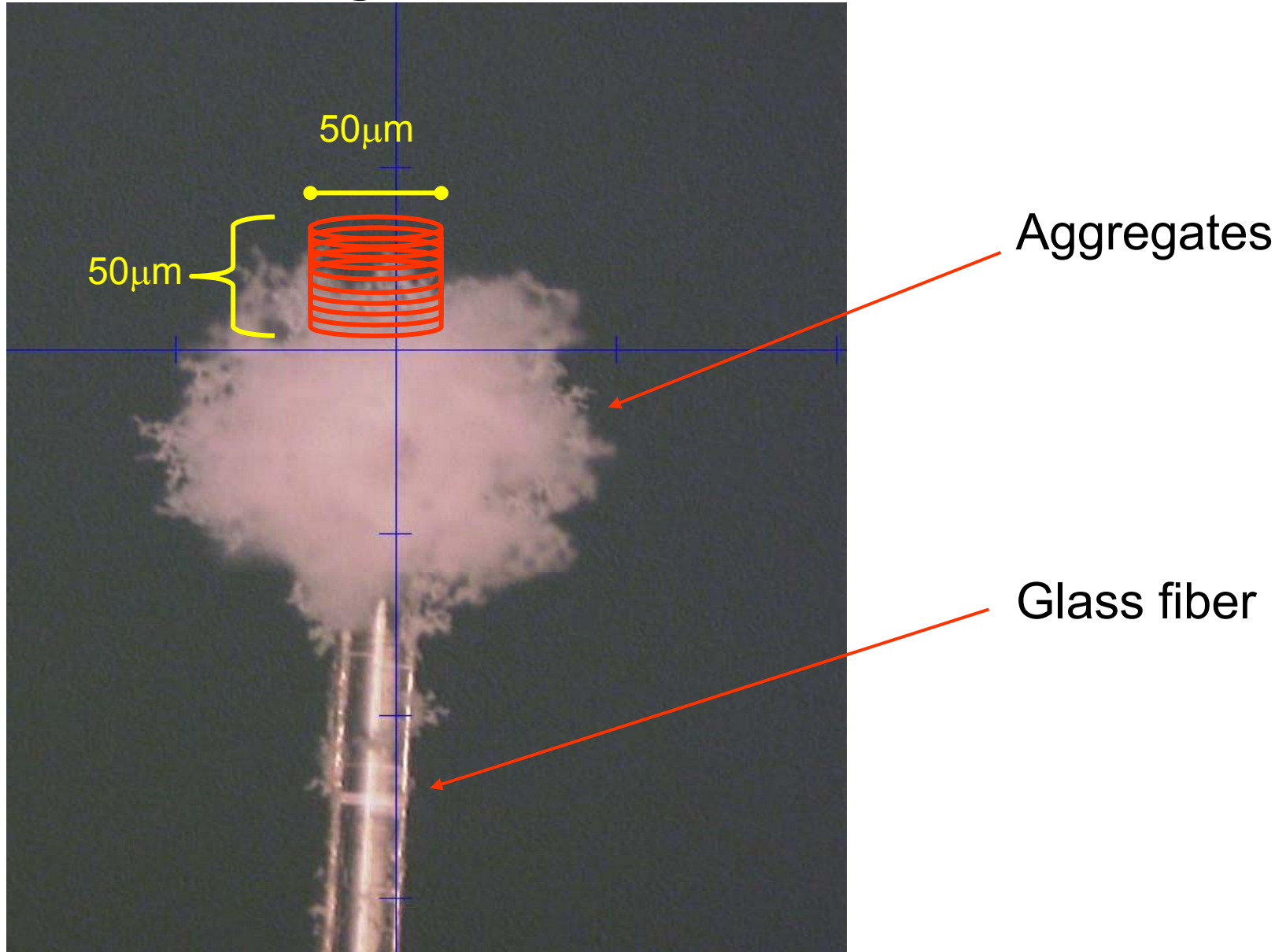


- energy: 8.0 keV
- exposure: 600 msec/projection
- projection number: 800
- resolution: 48 nm/voxel

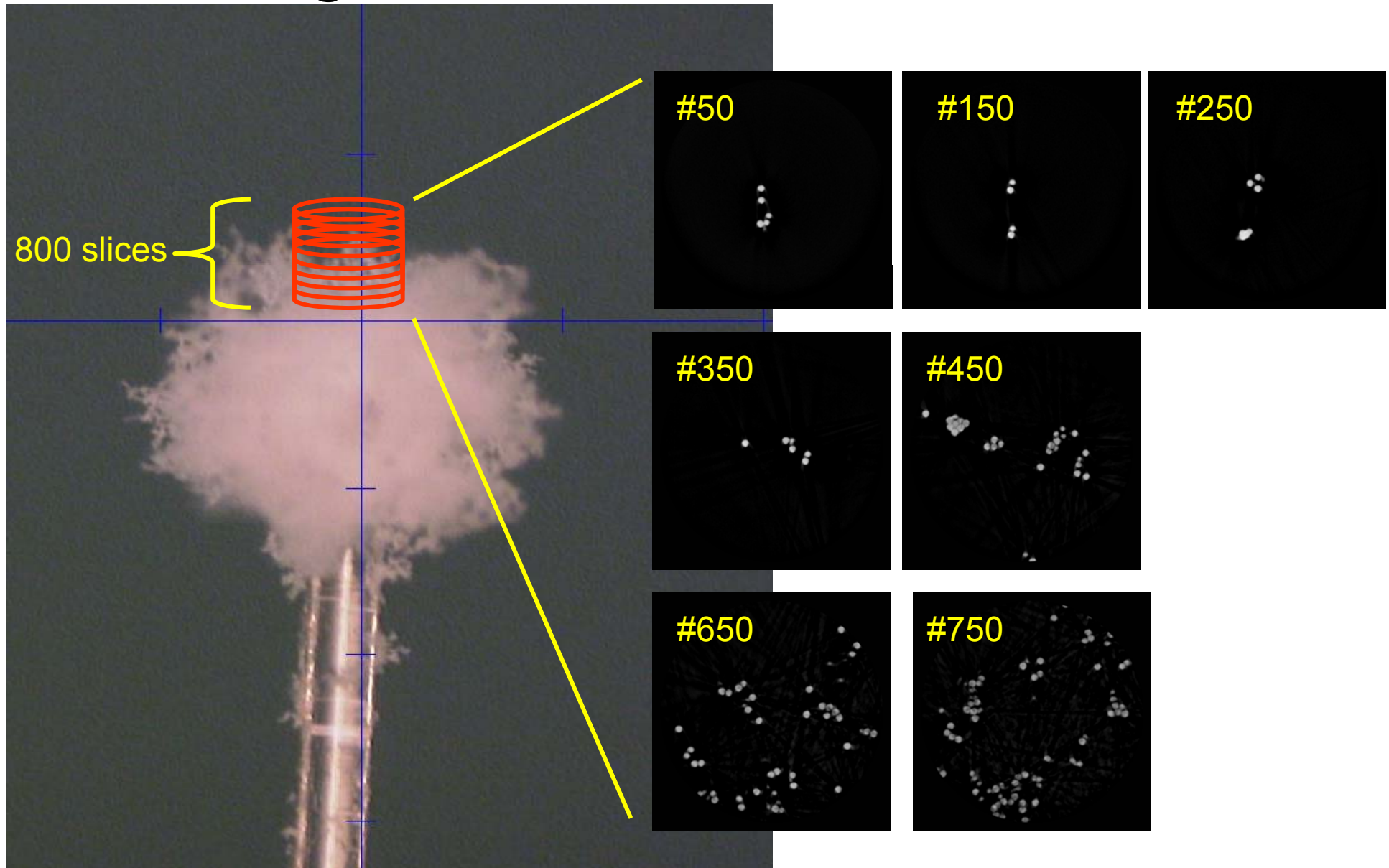


BL47XU @SPring-8

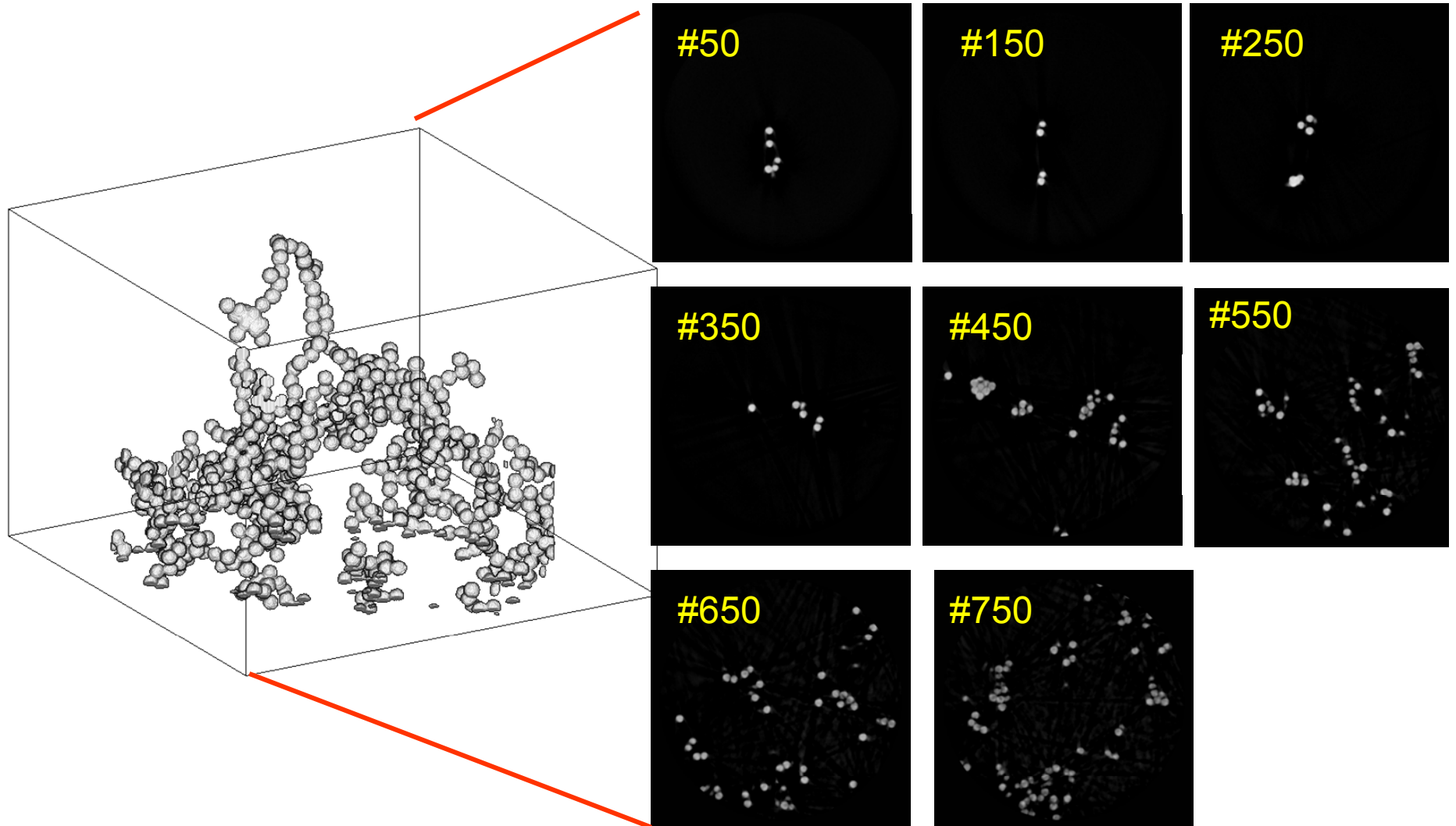
CT Images



CT Images

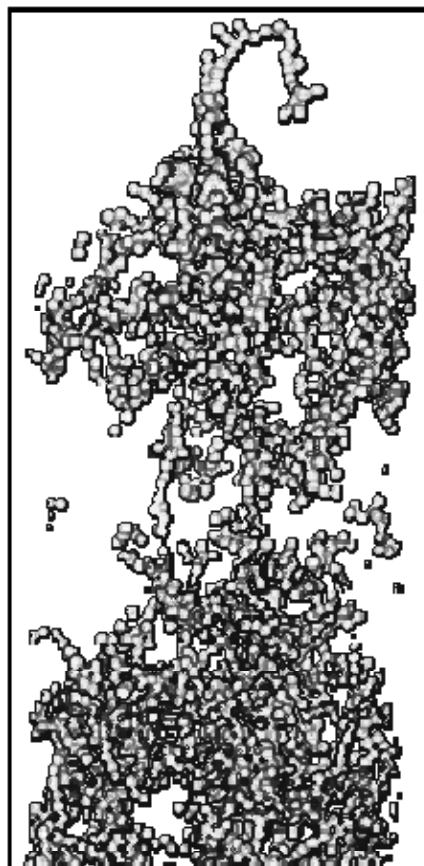


CT Images

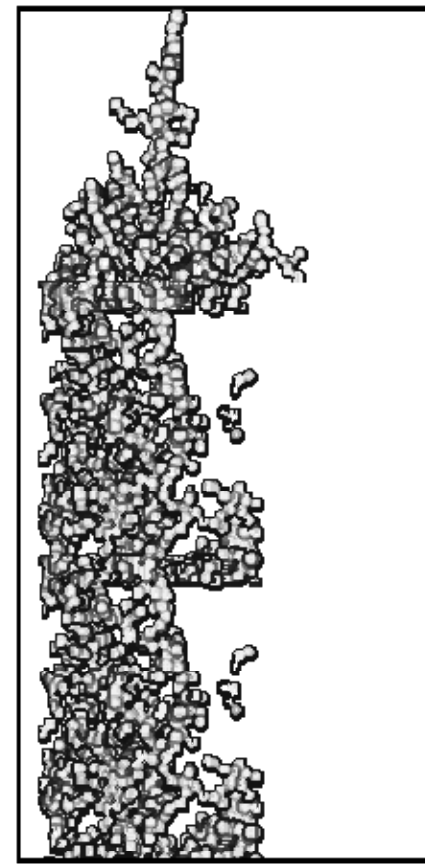


3D CT-Images of The aggregates - RDB monomer -

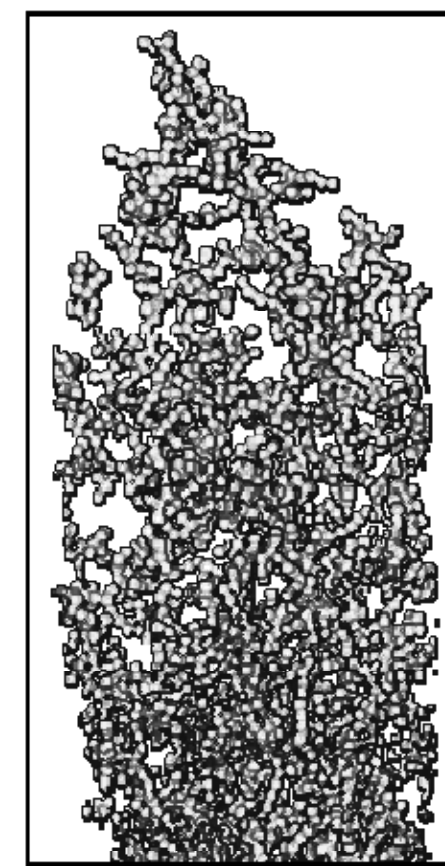
RBD monomer 1



RBD monomer 2

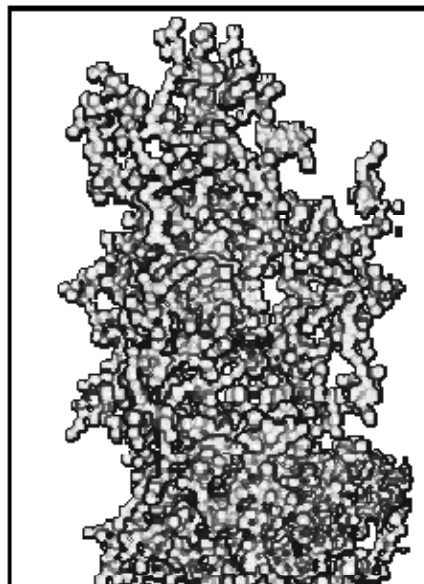


RBD monomer 3

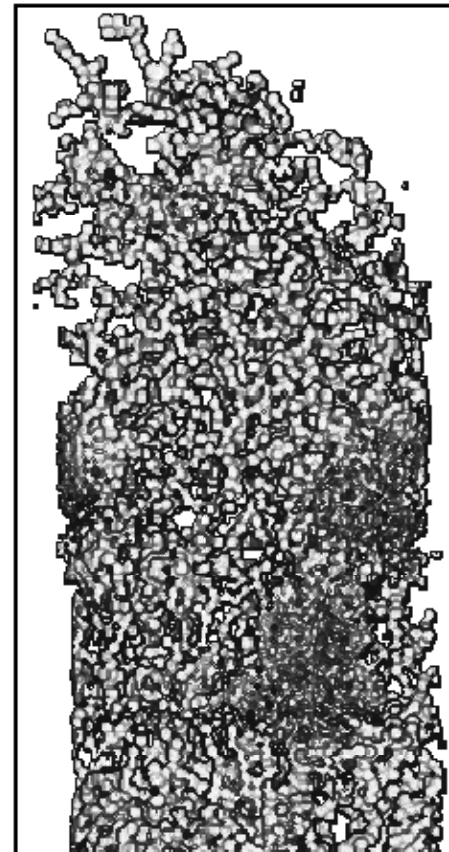


3D CT-Images of The aggregates - RBD cluster -

RBD cluster 1



RBD cluster 2



RBD cluster 3

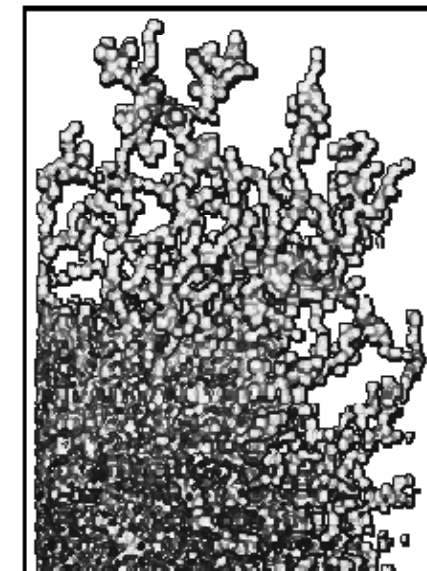
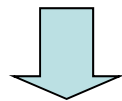
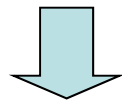


Image Analysis

Original CT image



Binary Image



Eroded Image

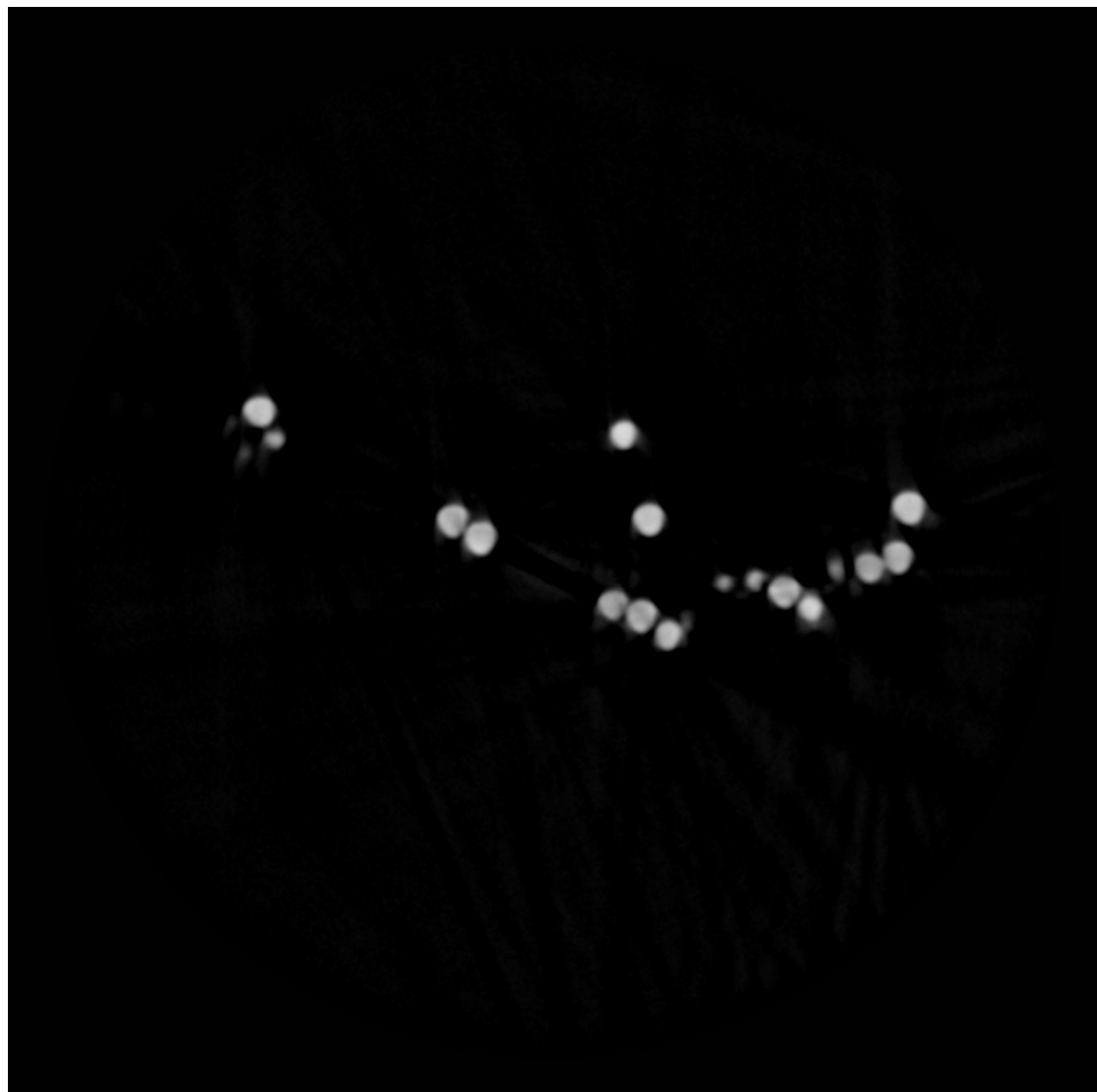
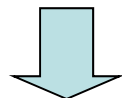
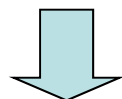


Image Analysis

Original CT image



Binary Image



Eroded Image

Binarization

-> 個々の粒子を認識する。

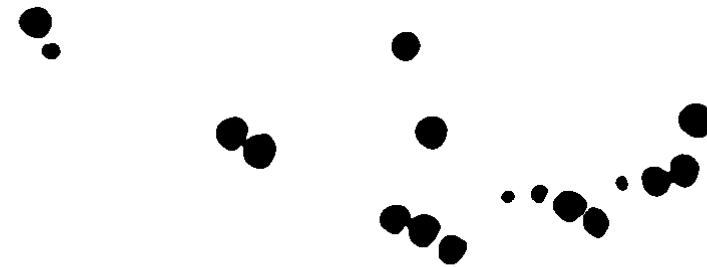
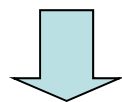
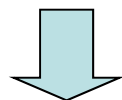


Image Analysis

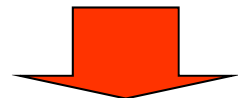
Original CT image



Binary Image



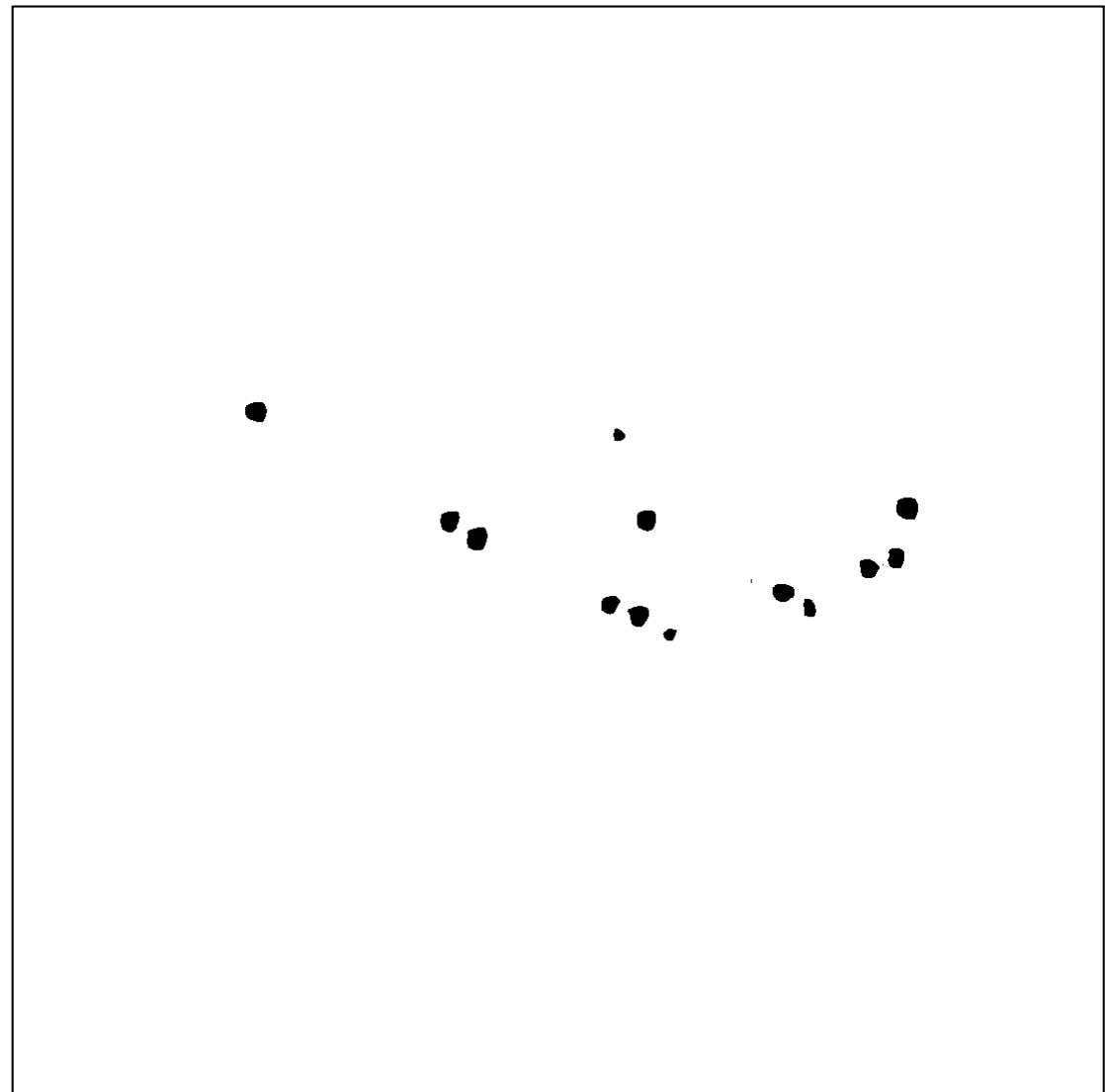
Eroded Image



個々の粒子の重心位置を
求めることができた。

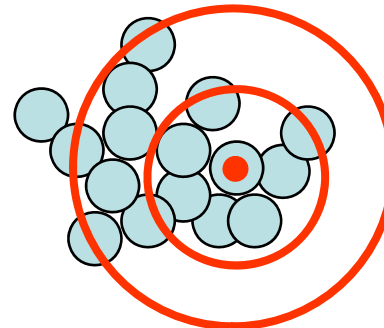
Erosion

-> 粒子を分離する。



Fractal dimension

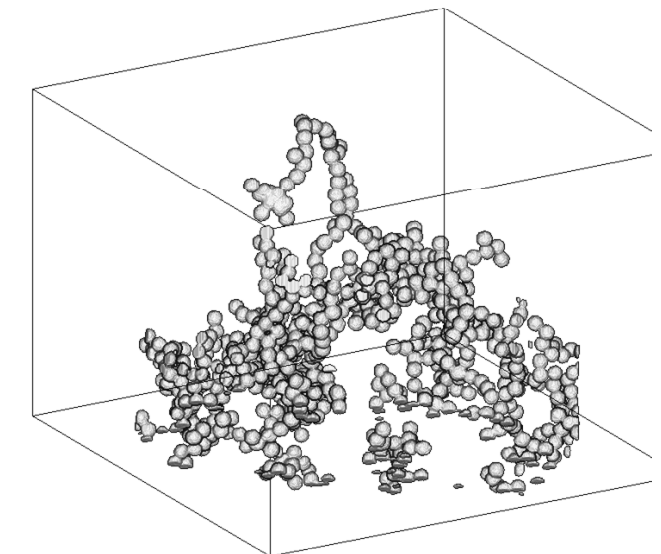
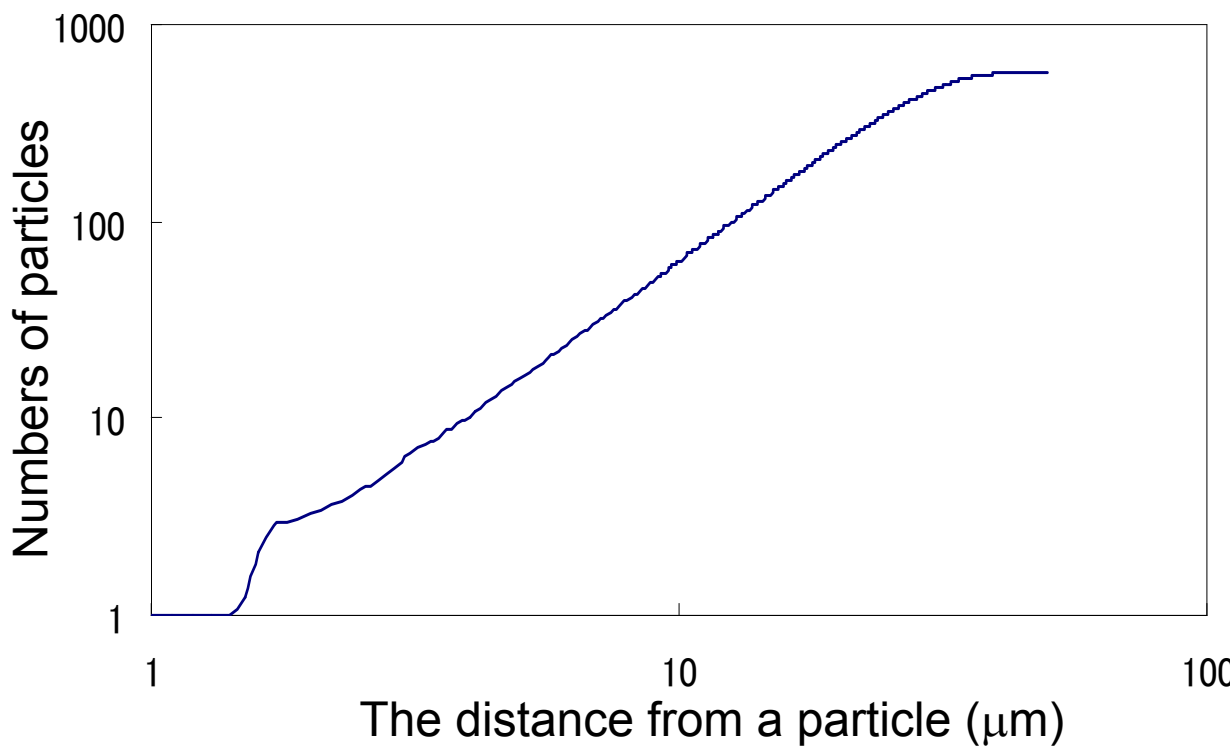
$$d \equiv \frac{d \ln N(r)}{d \ln r}$$



Compact dust: $d=3.0$

BCCA: $d = 2.0-2.5$

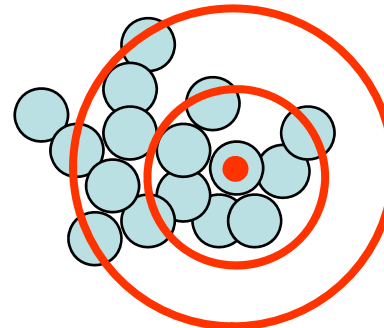
r : The distance from a particle
 N : Number of particles inner r



RBD monomer 1
(surface)

Fractal dimension

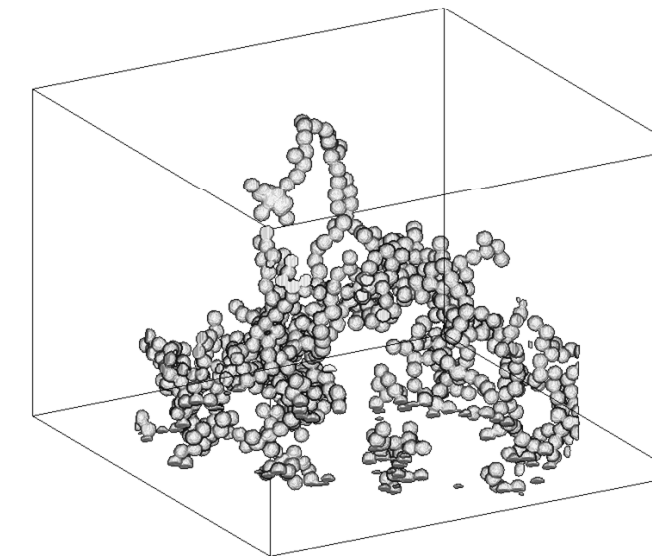
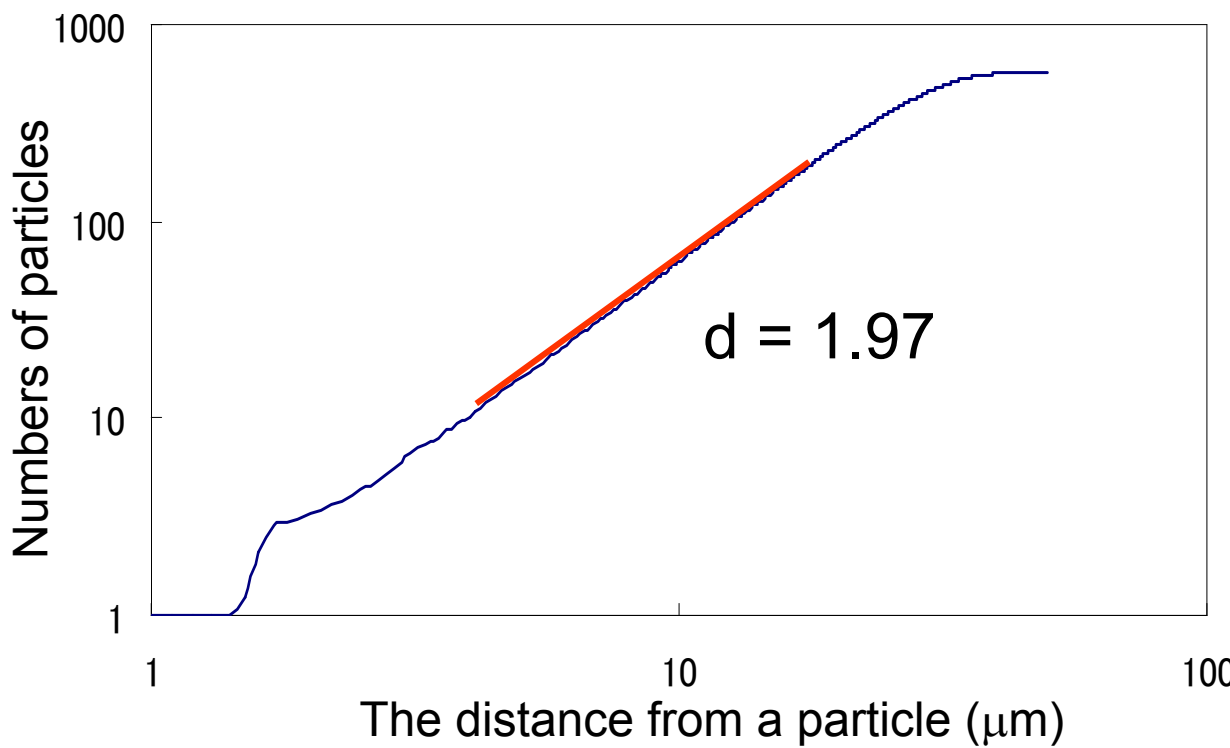
$$d \equiv \frac{d \ln N(r)}{d \ln r}$$



Compact dust: $d=3.0$

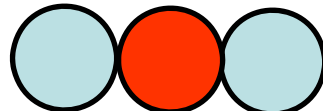
BCCA: $d = 2.0-2.5$

r : The distance from a particle
 N : Number of particles inner r

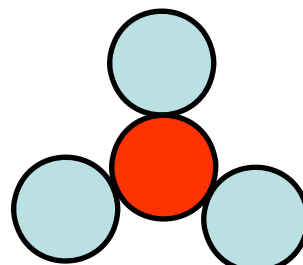


Coordination Number (配位数)

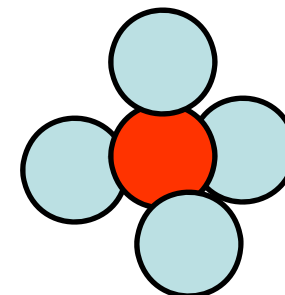
- Coordination number : C.N.
 - Number of particles in contact with a particle.



C.N. = 2



C.N. = 3

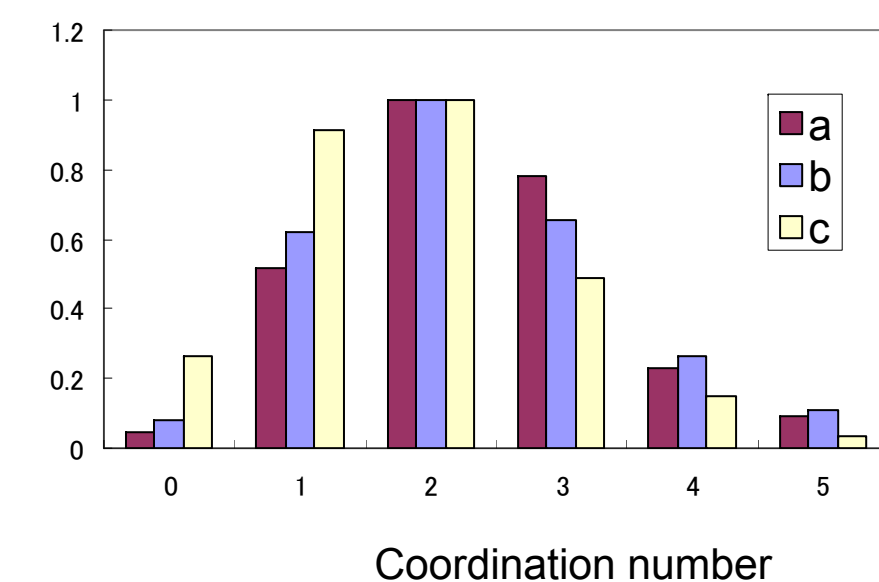
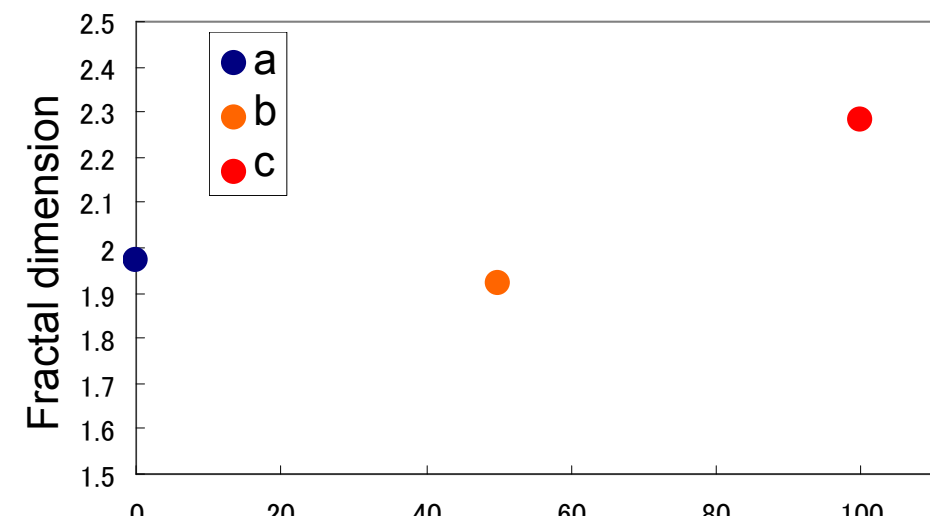
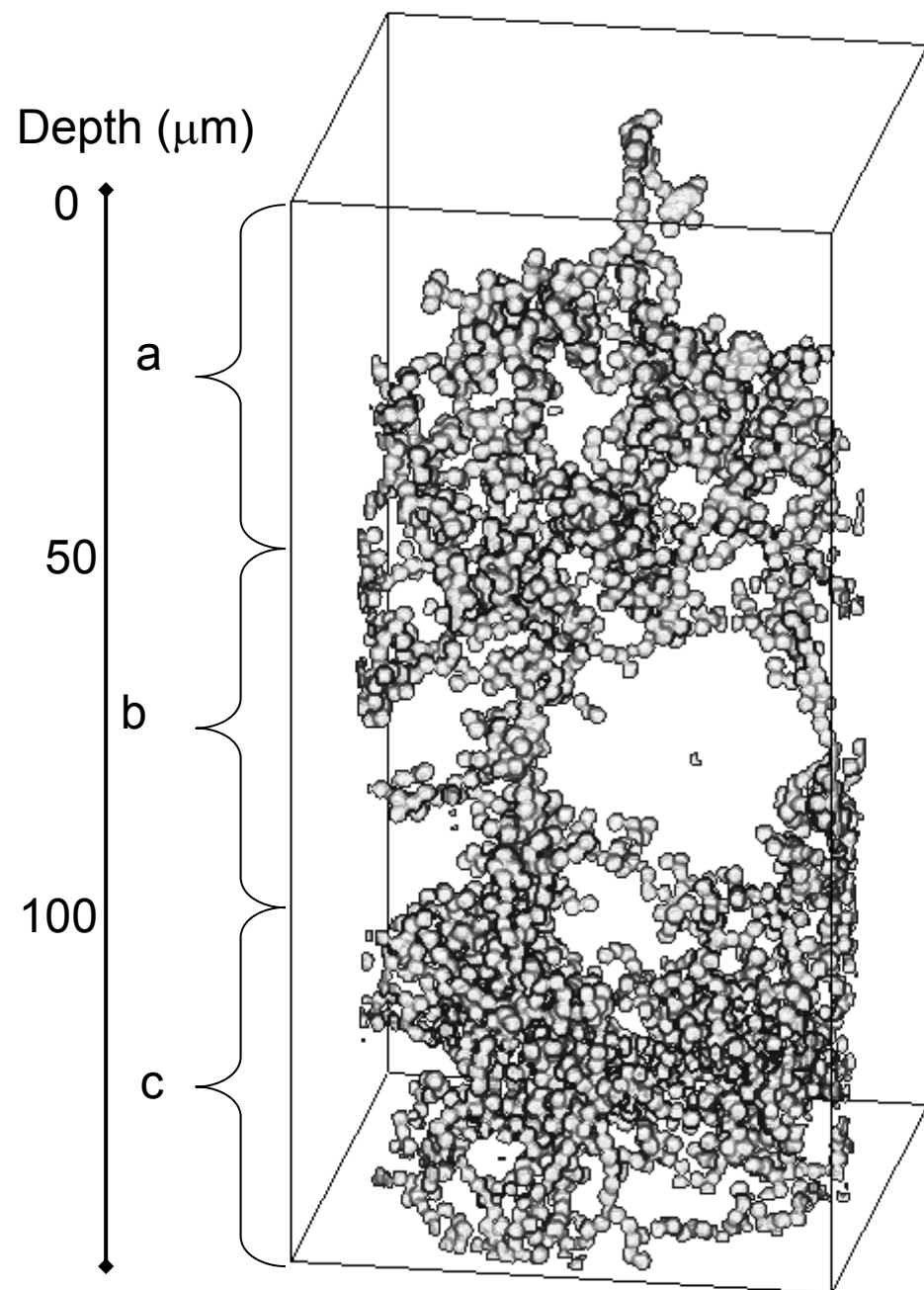


C.N. = 4

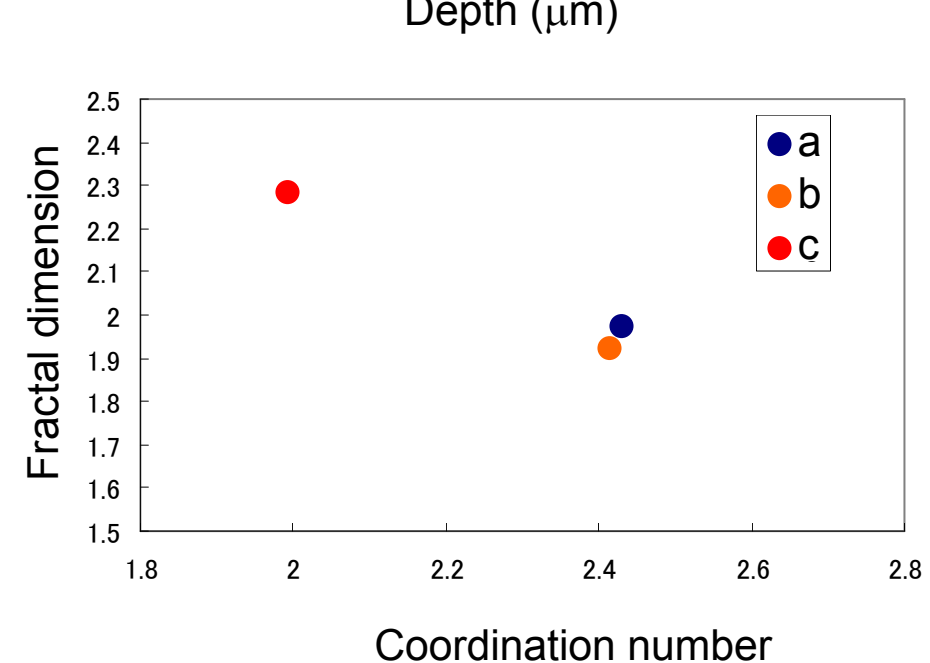
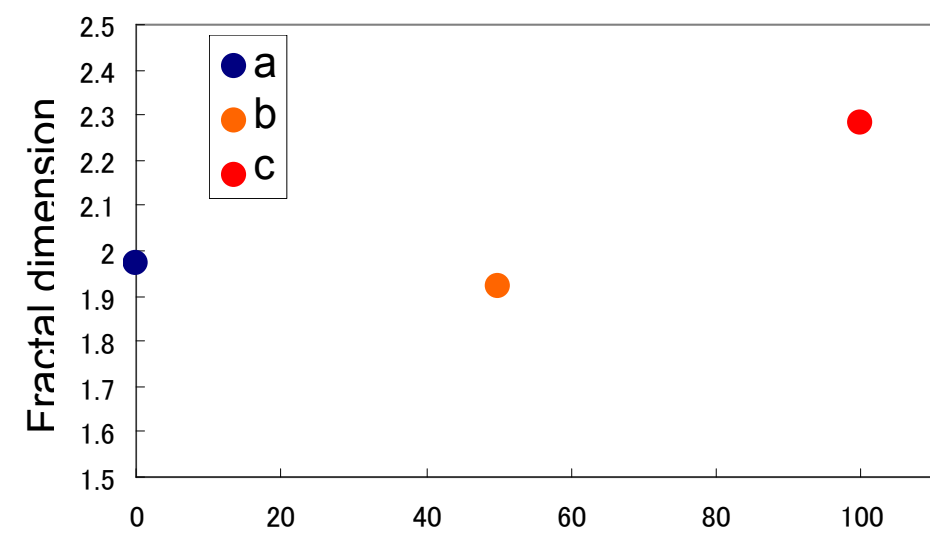
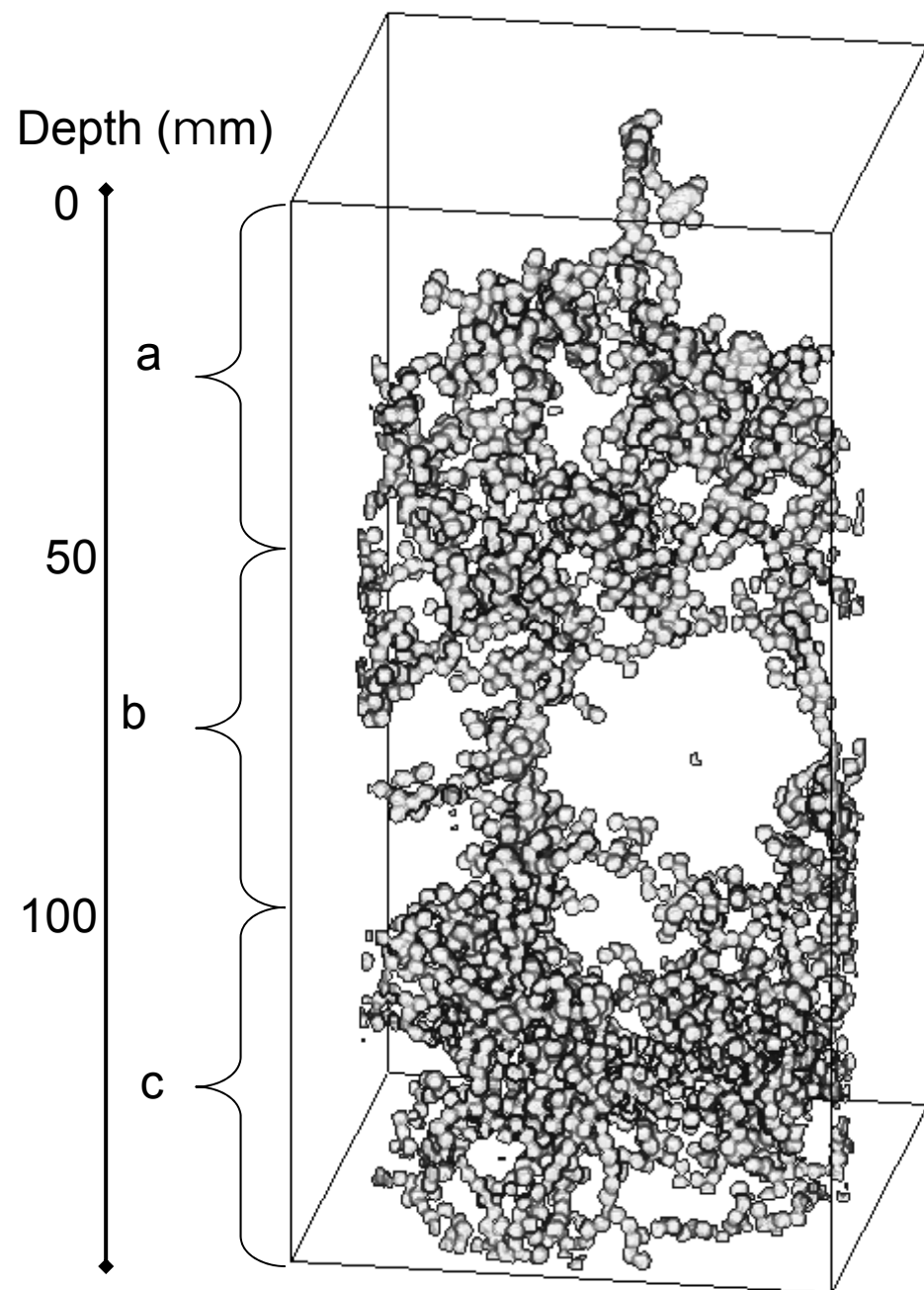
...

Aggregates of numerical simulations: C.N.= 2-4

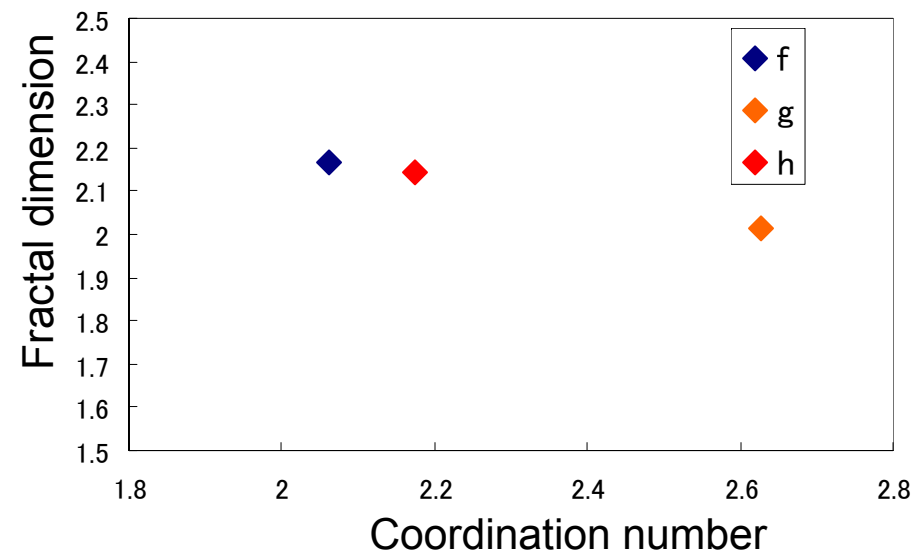
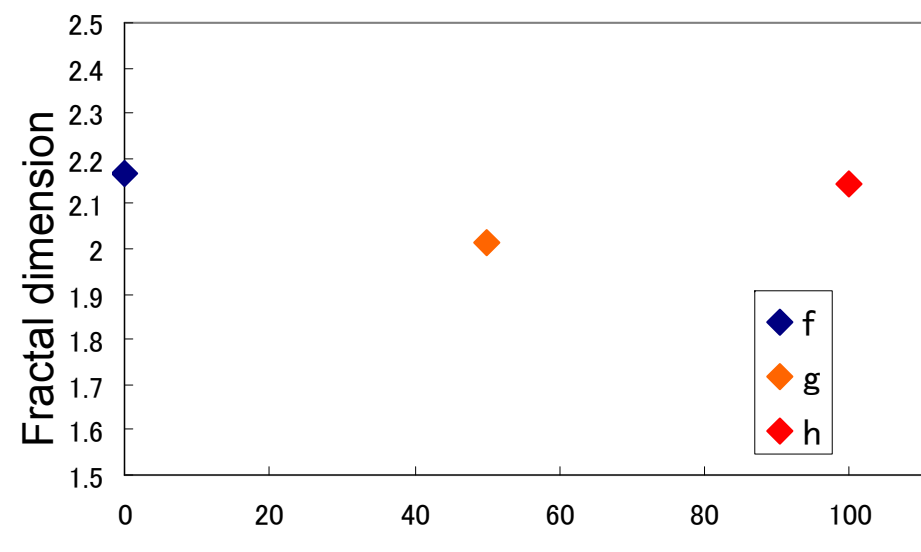
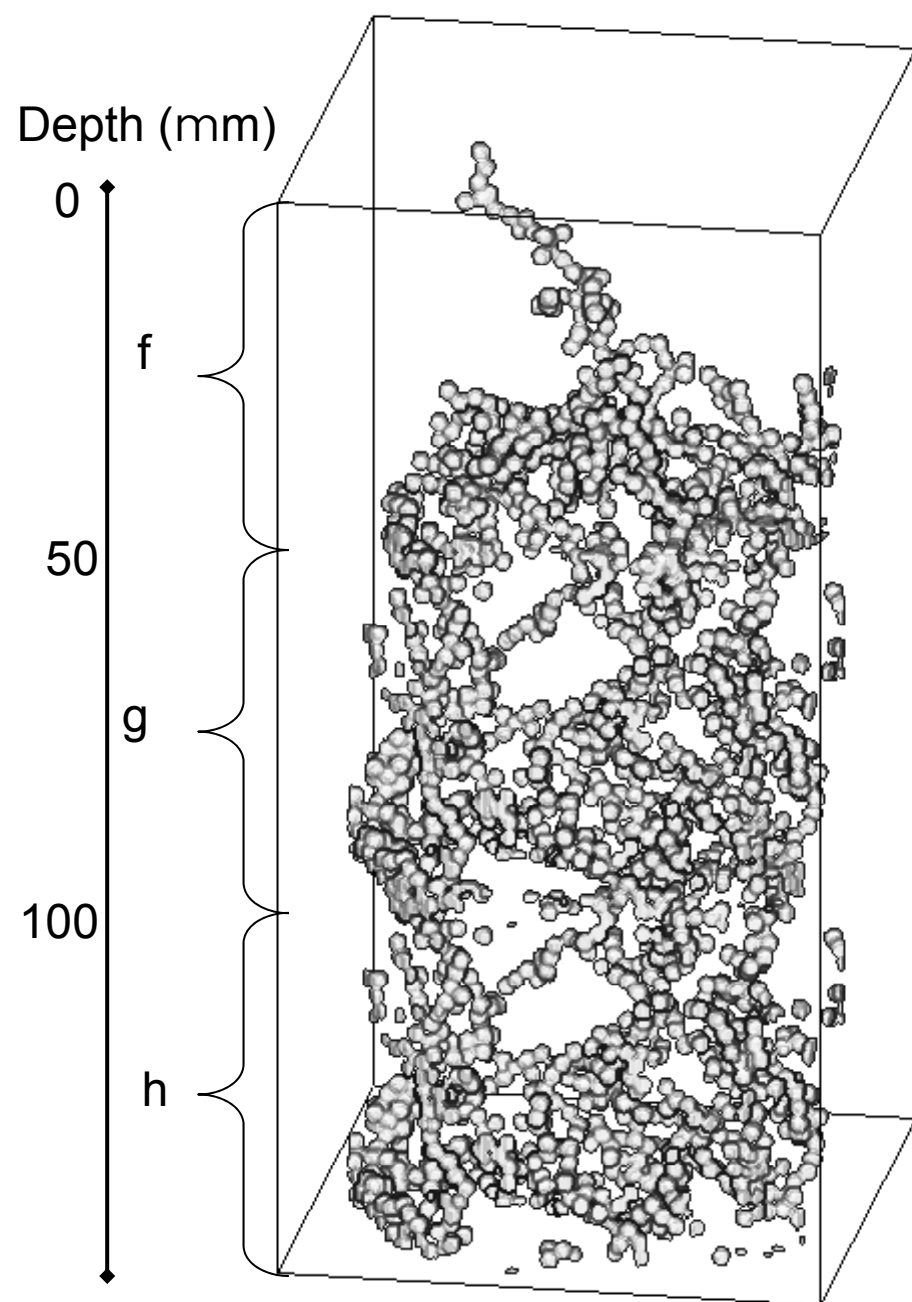
RBD monomer 1



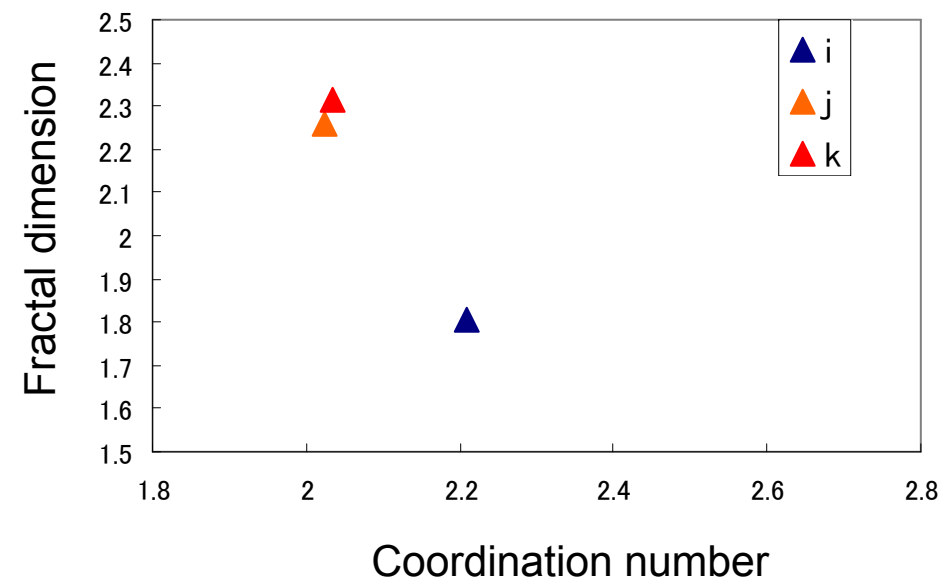
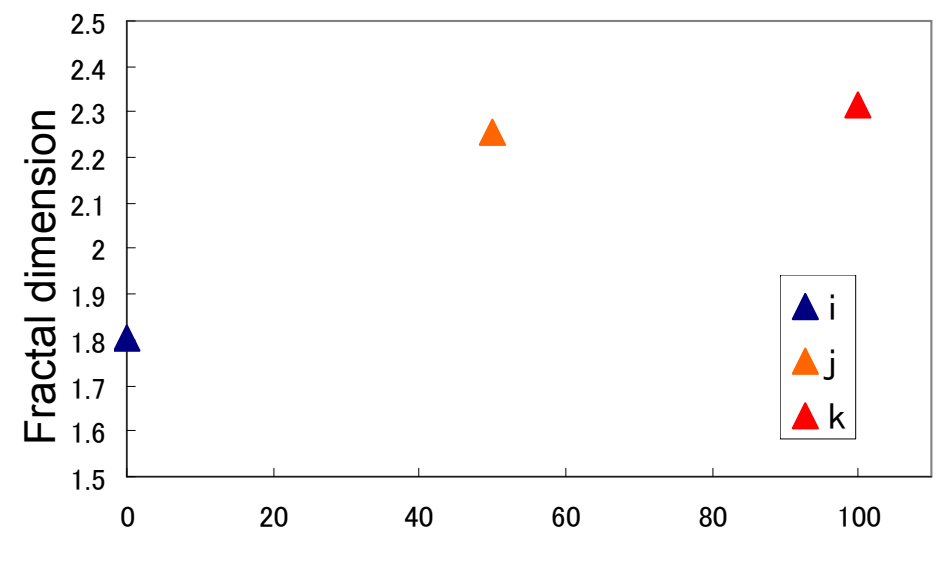
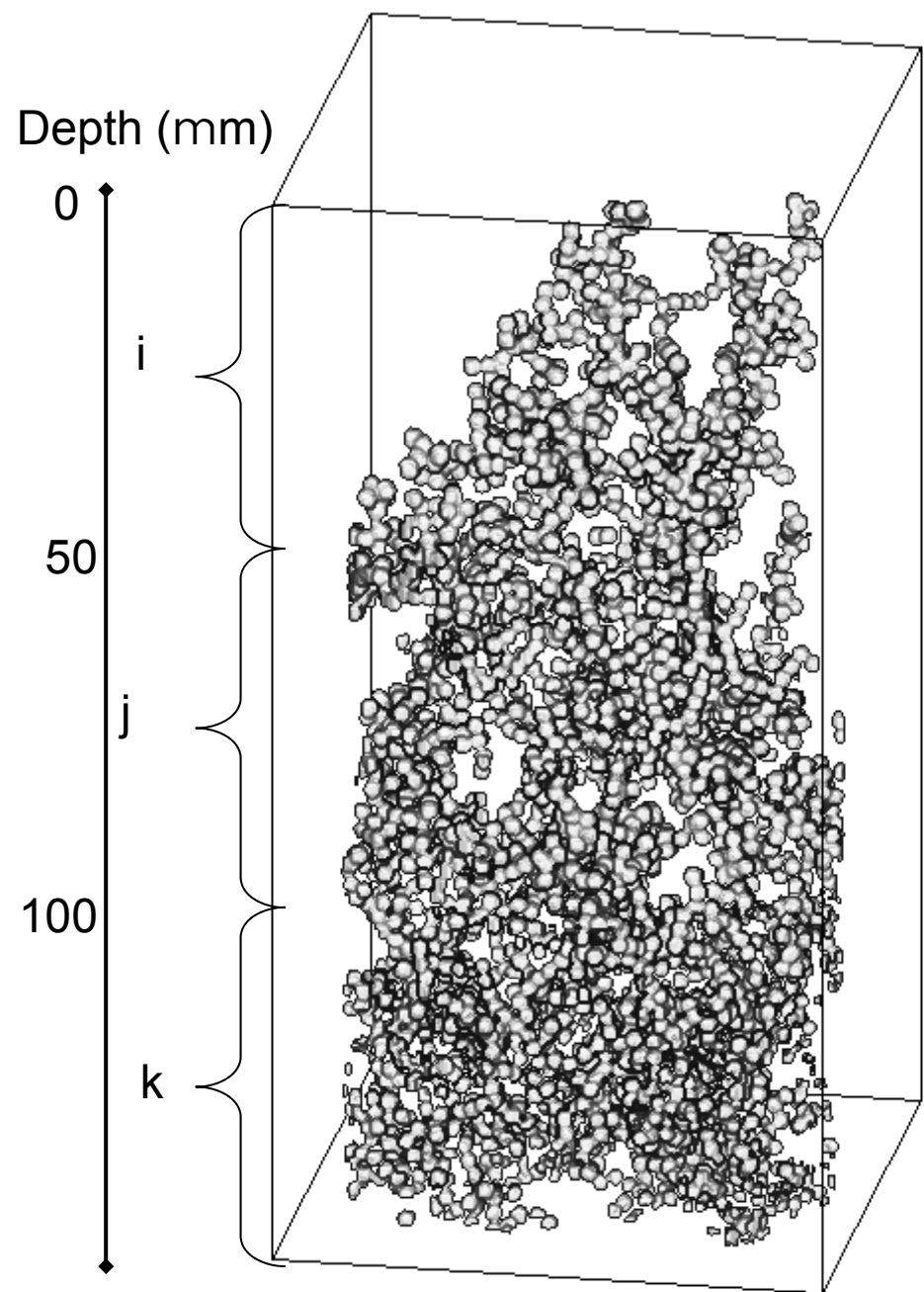
RBD monomer 1



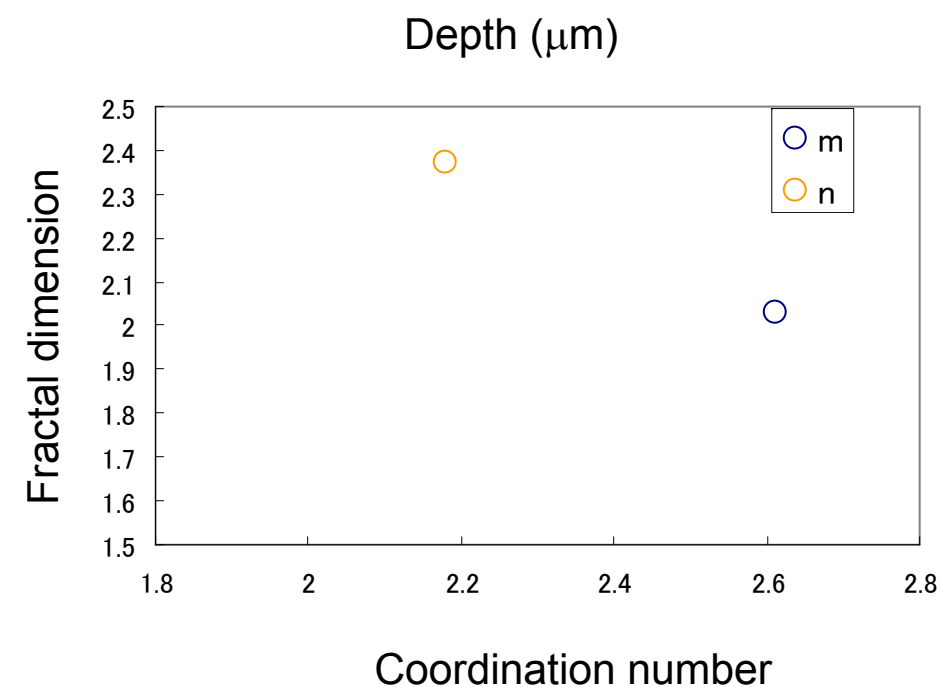
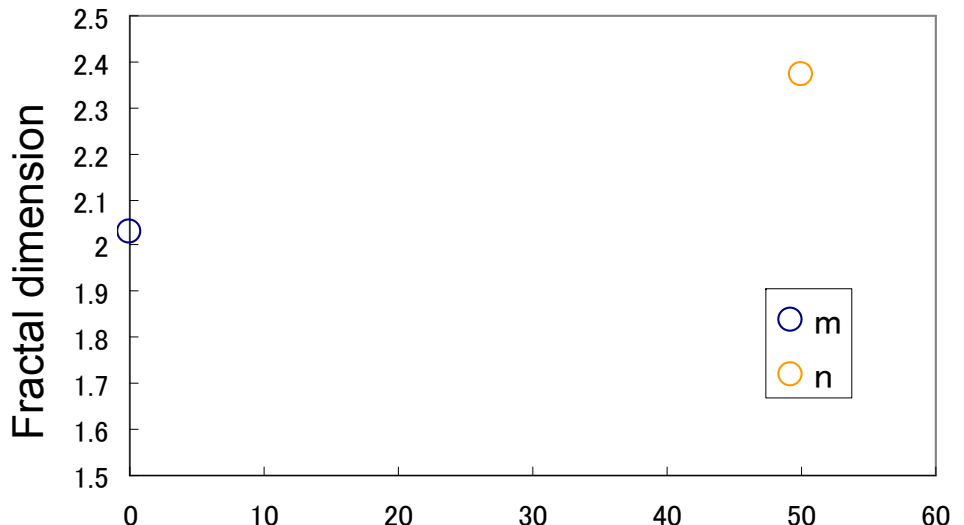
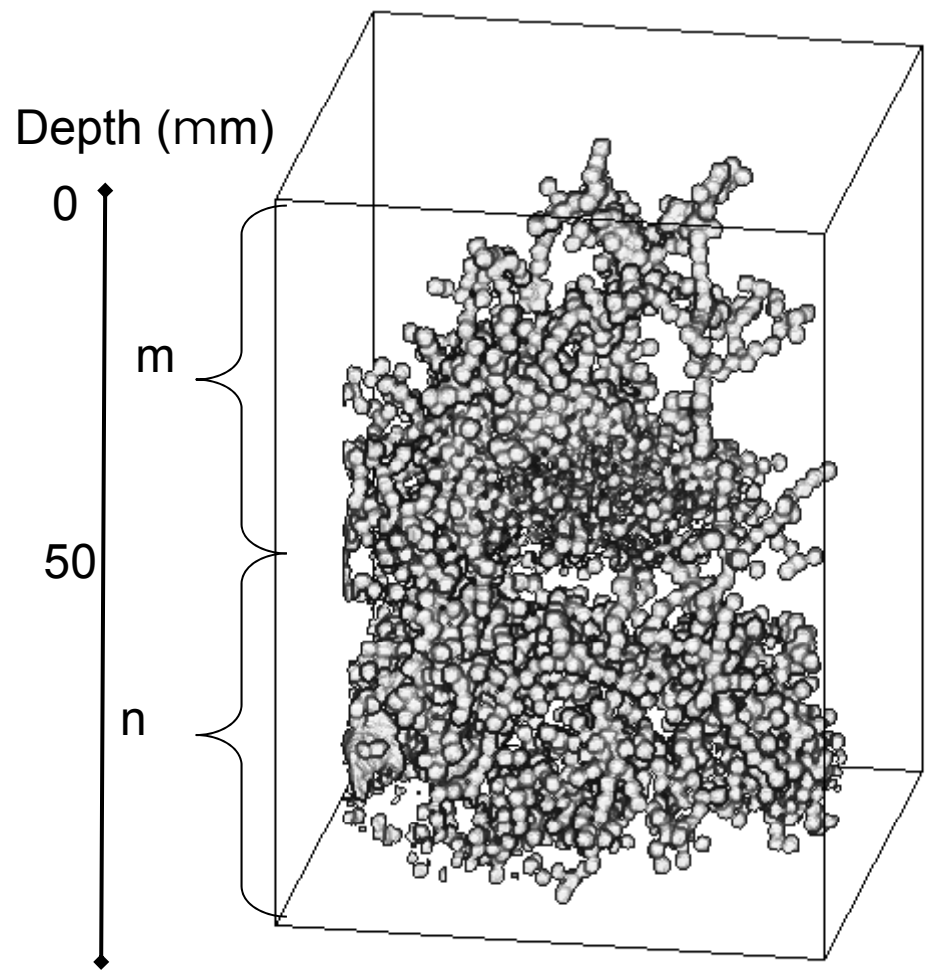
RBD monomer 2



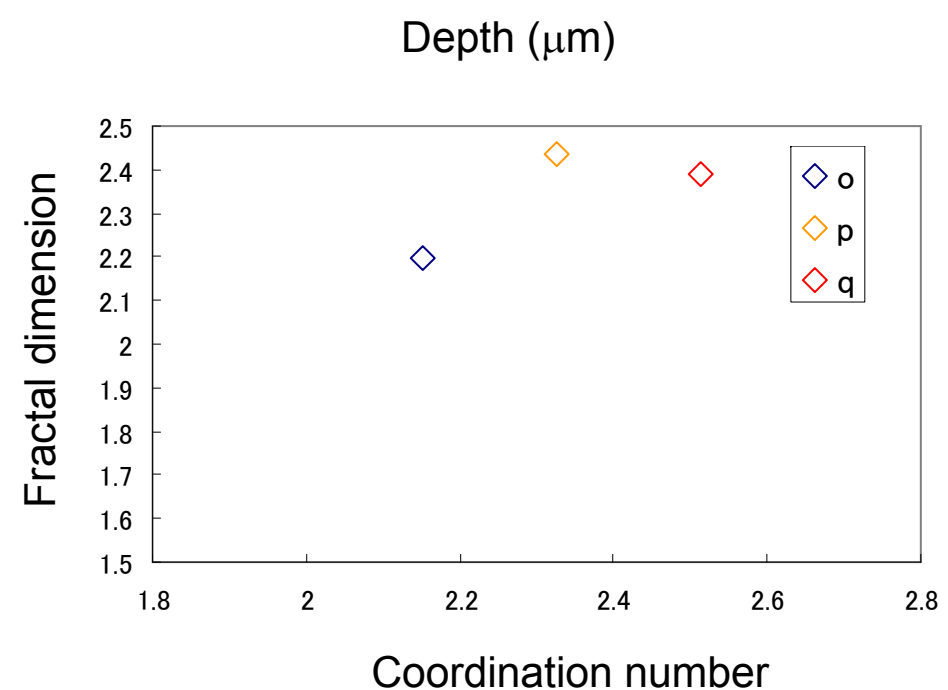
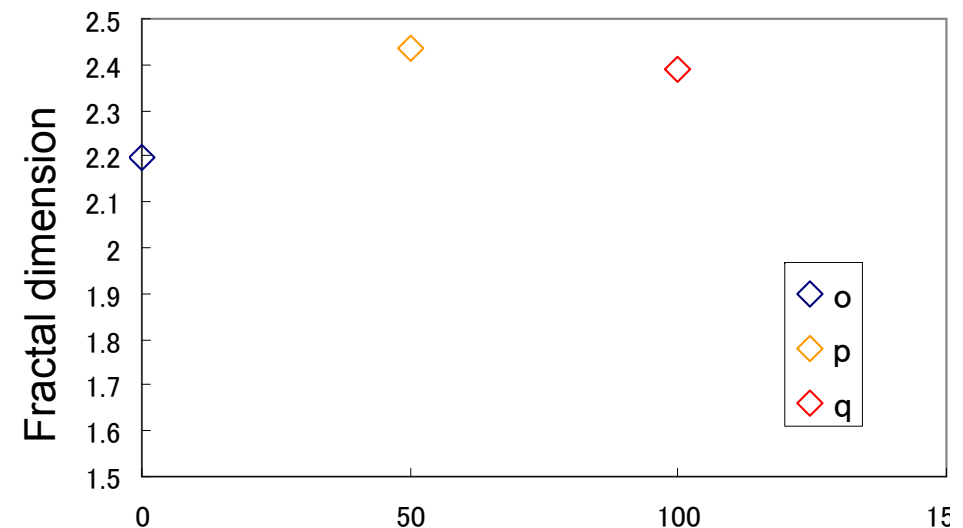
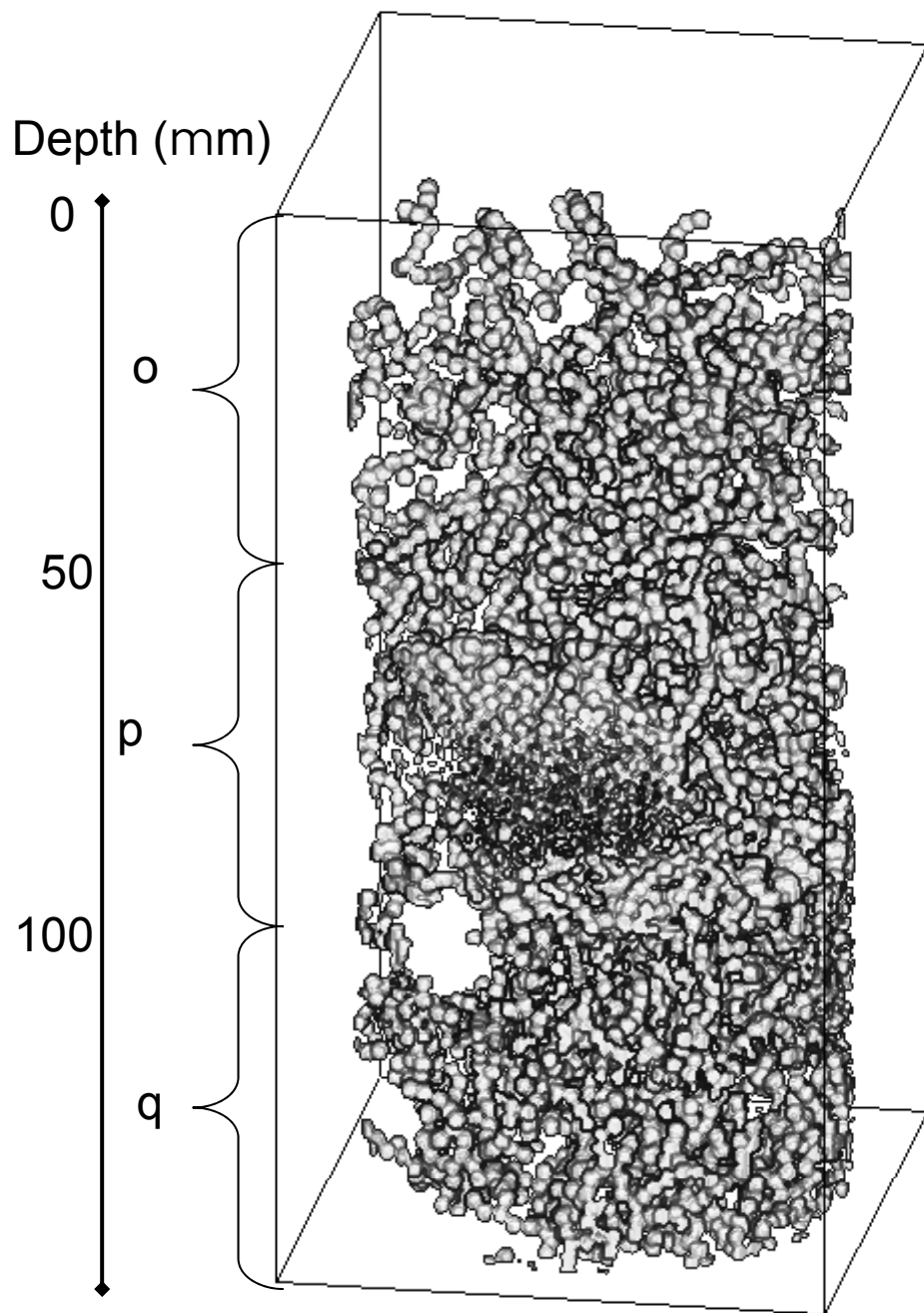
RBD monomer 3



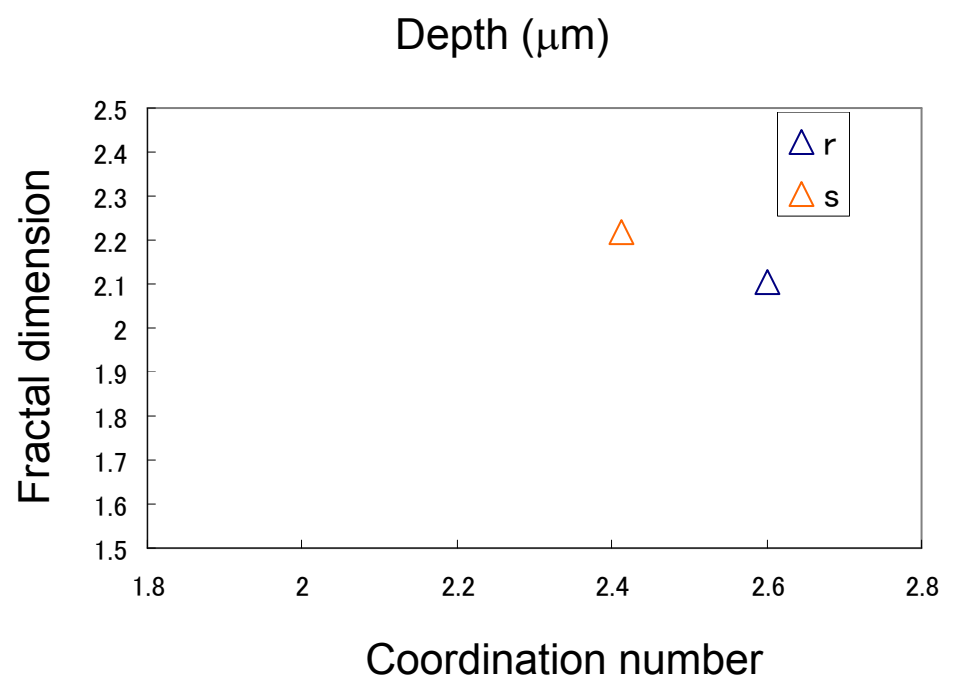
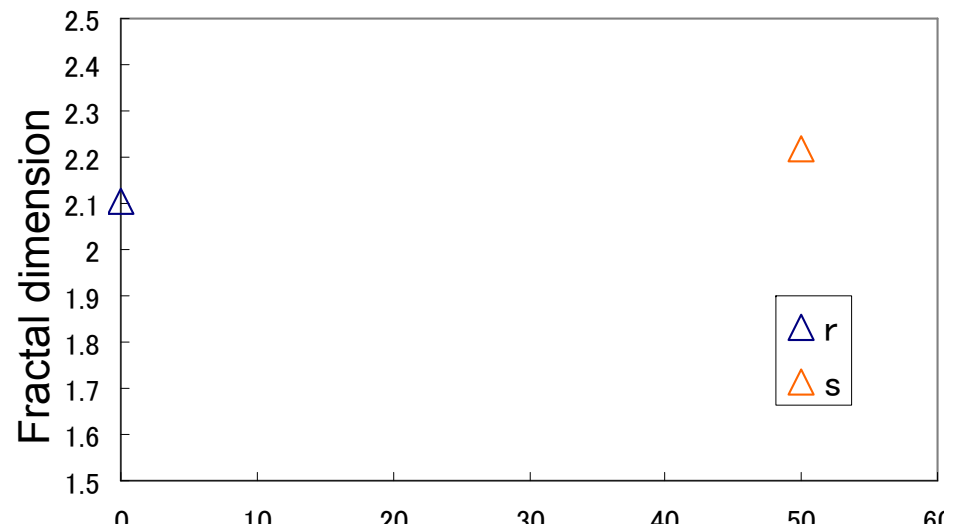
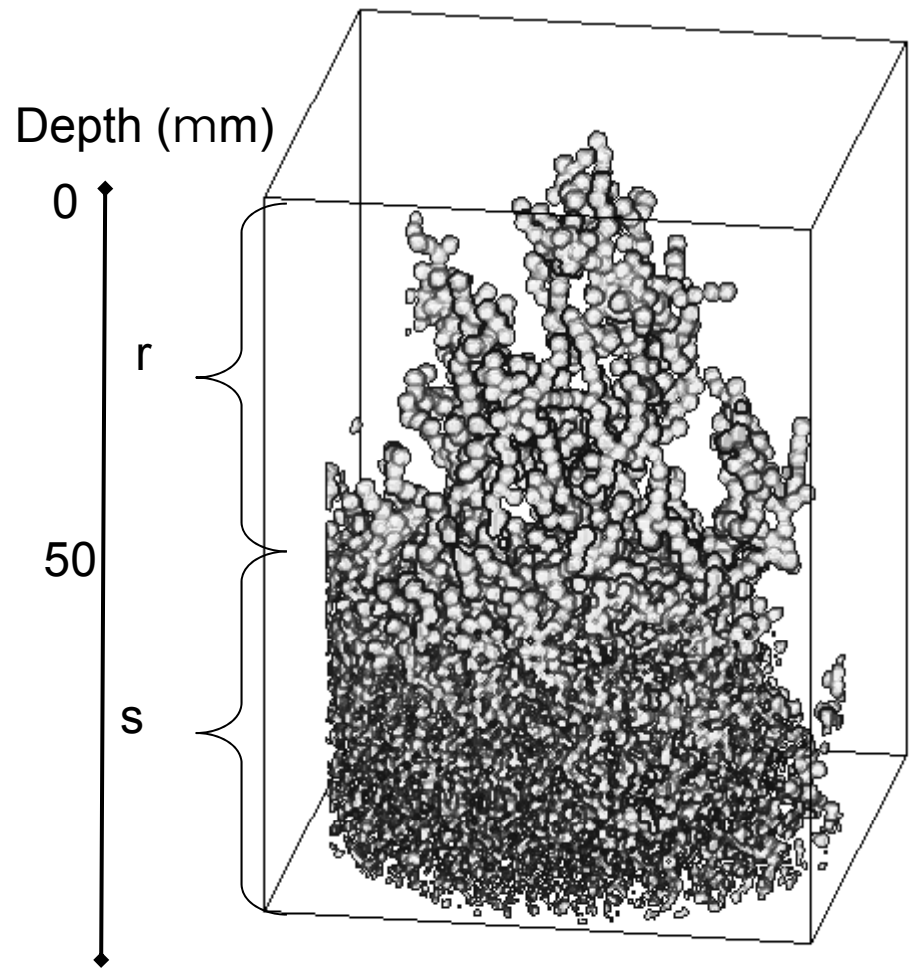
RBD cluster 1



RBD cluster 2

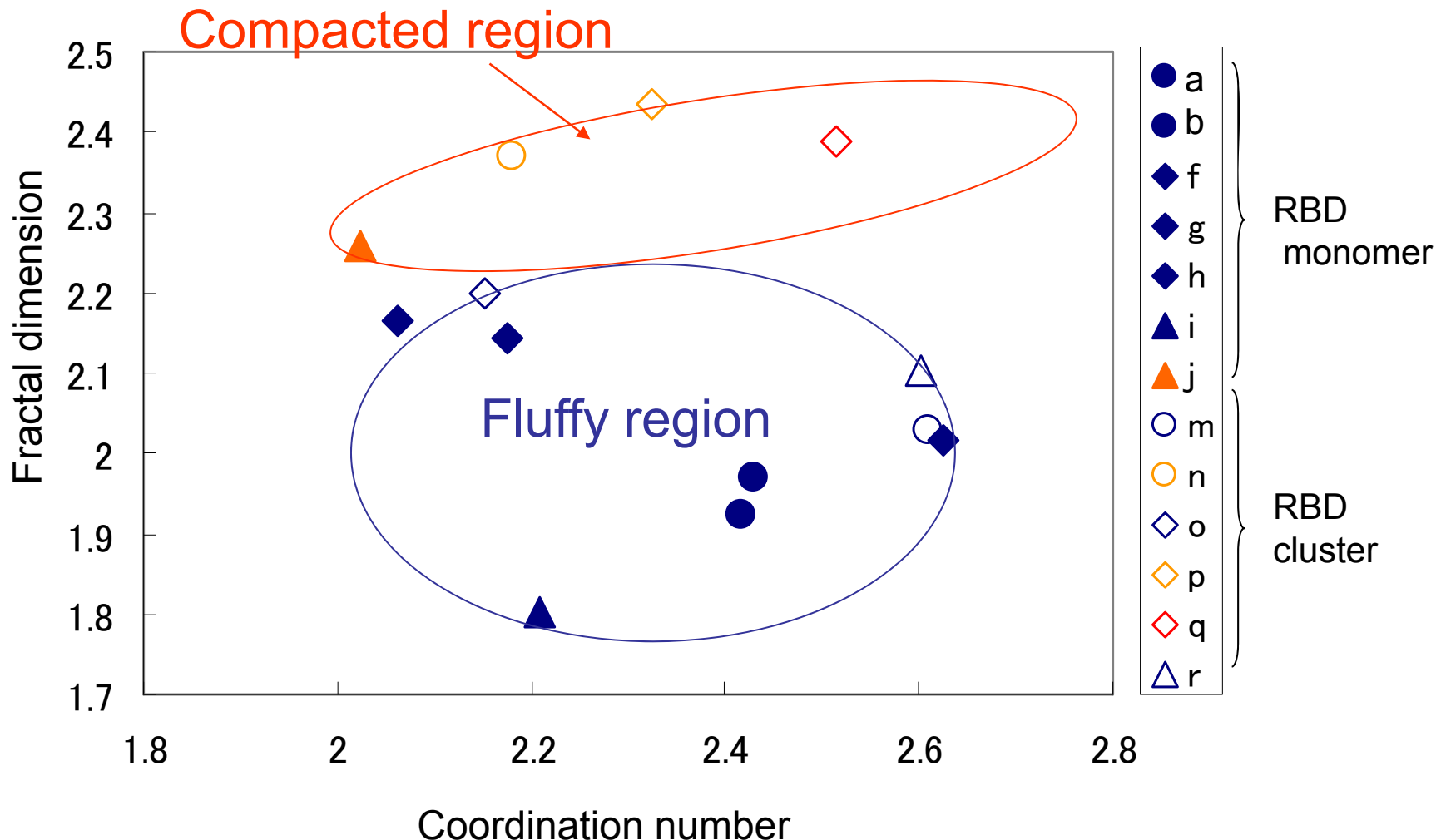


RBD cluster 3

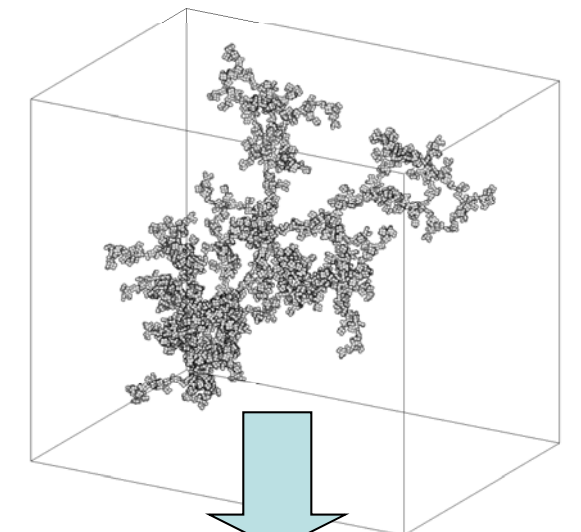


Experimental results

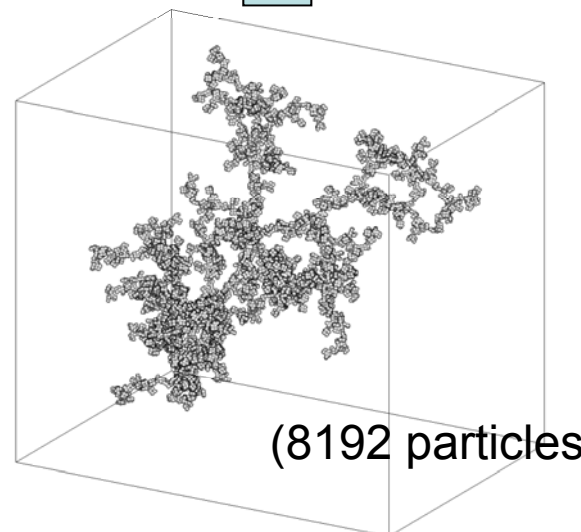
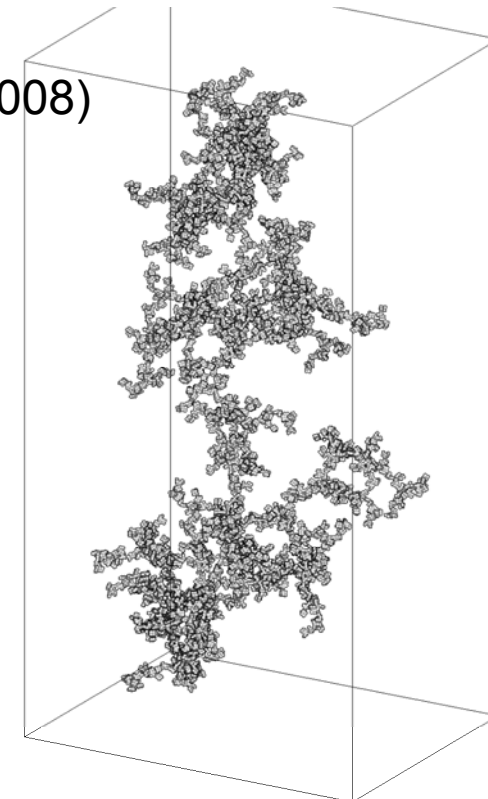
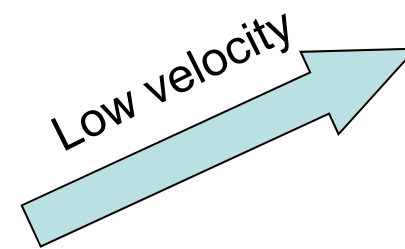
- Relation between coordination number and fractal dimension



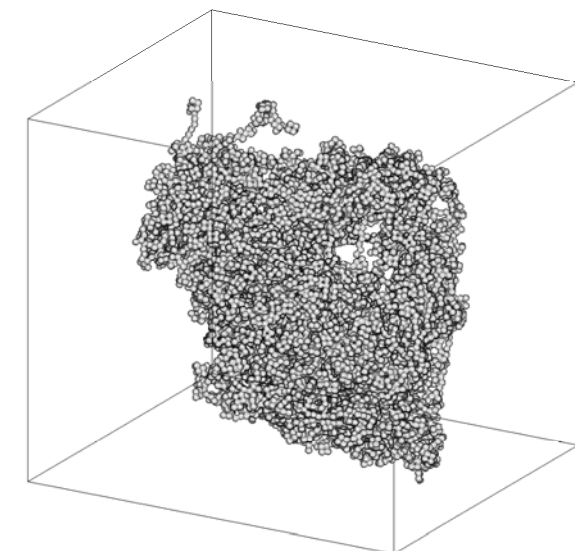
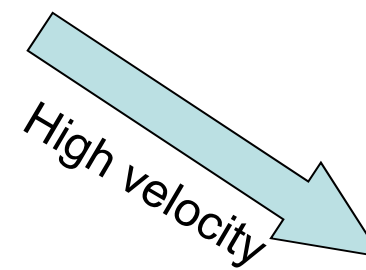
BCCA numerical simulation (Wada et al., 2008)



Collision

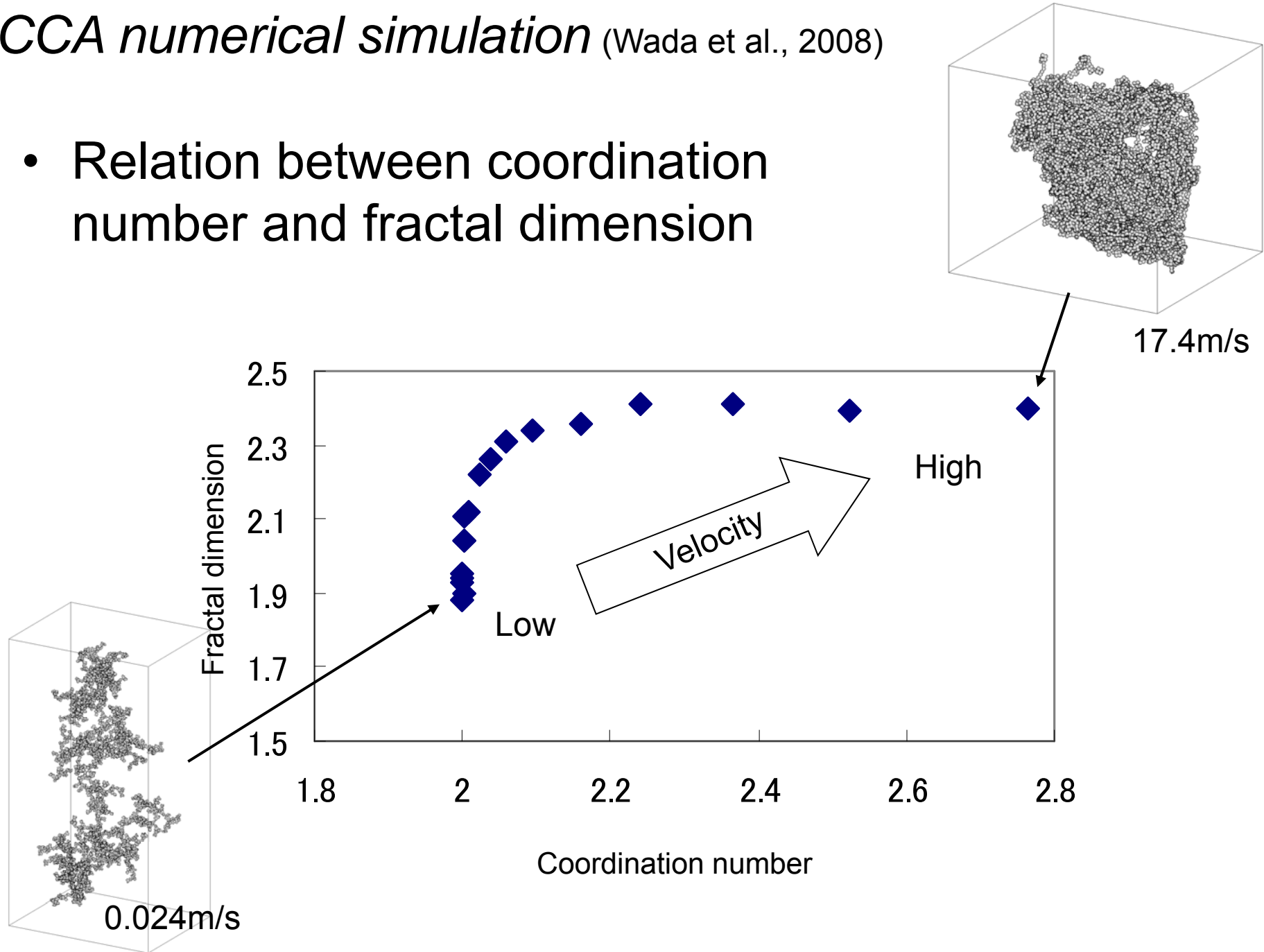


(8192 particles)



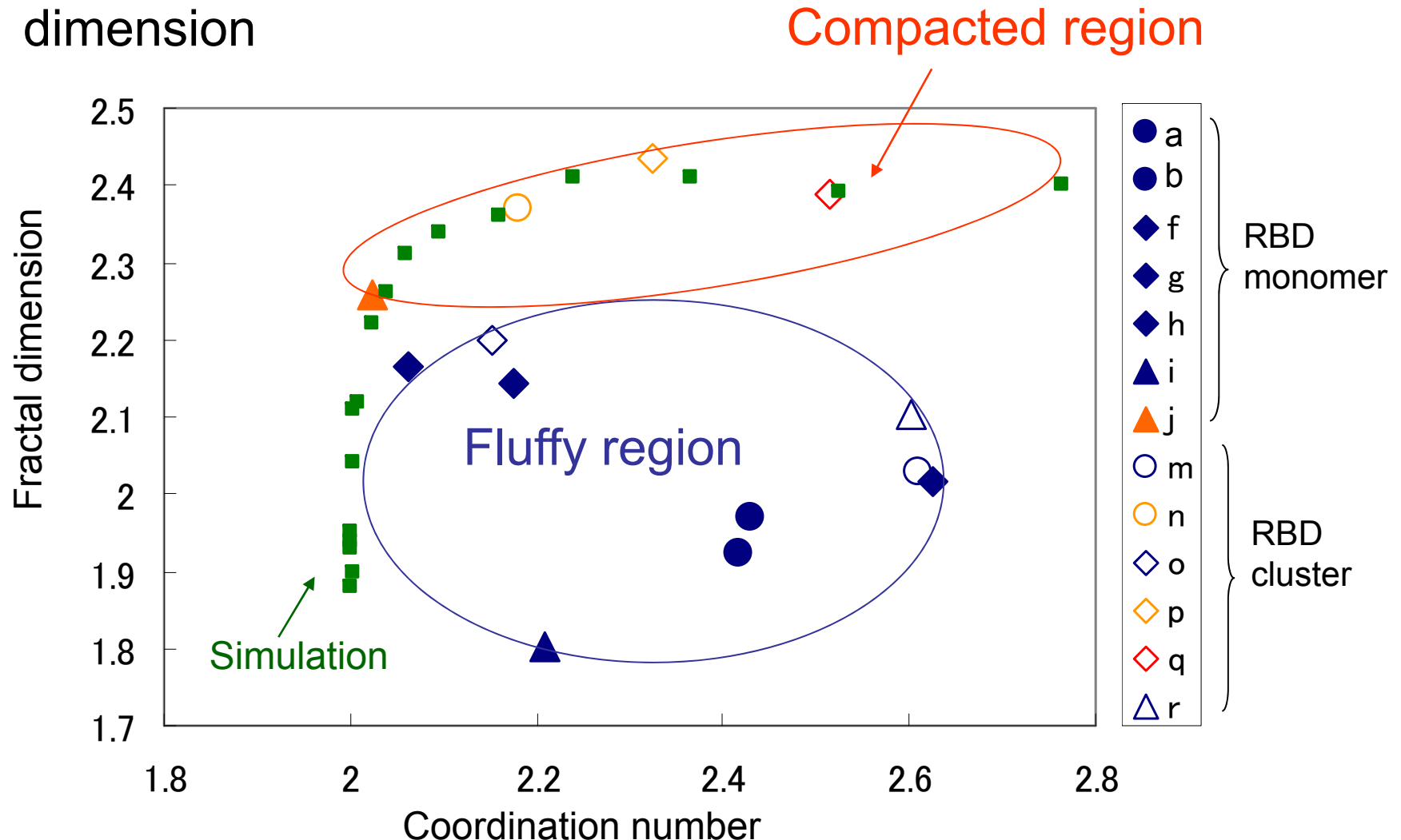
BCCA numerical simulation (Wada et al., 2008)

- Relation between coordination number and fractal dimension

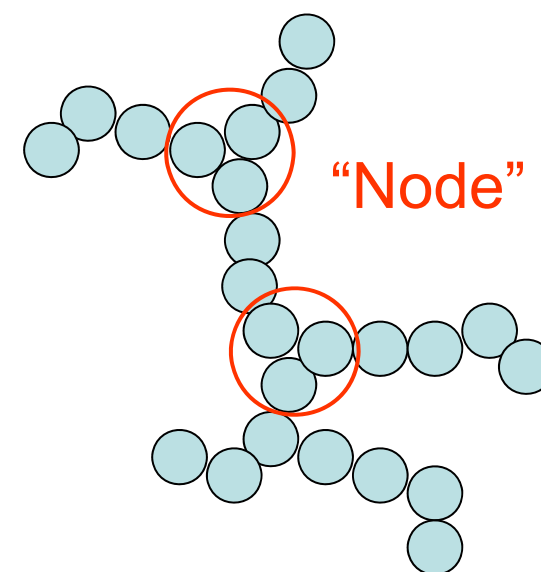
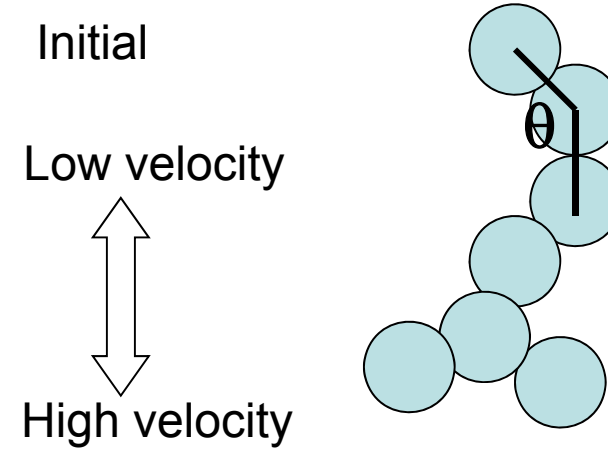
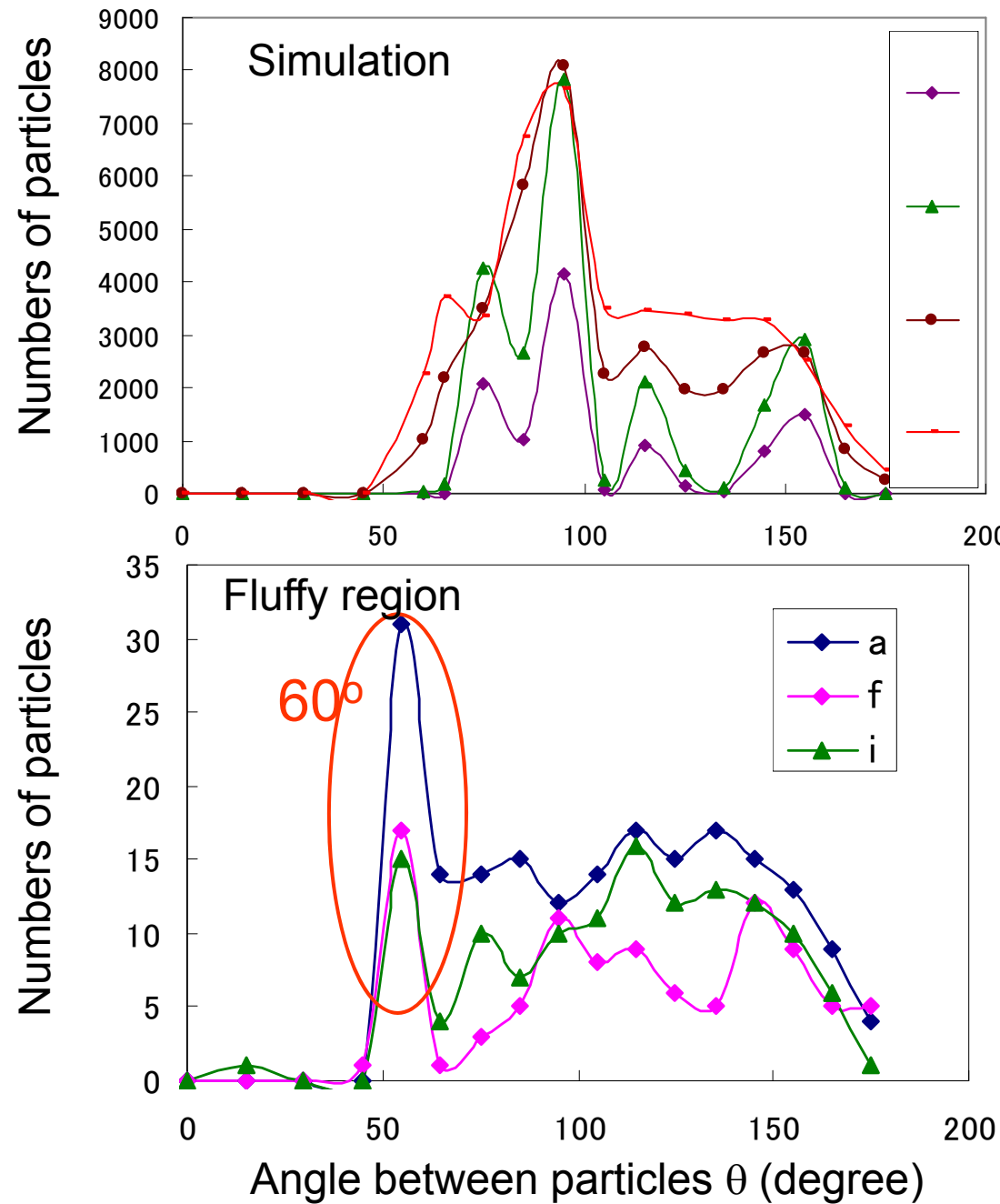


Comparison between the experiments and simulation.

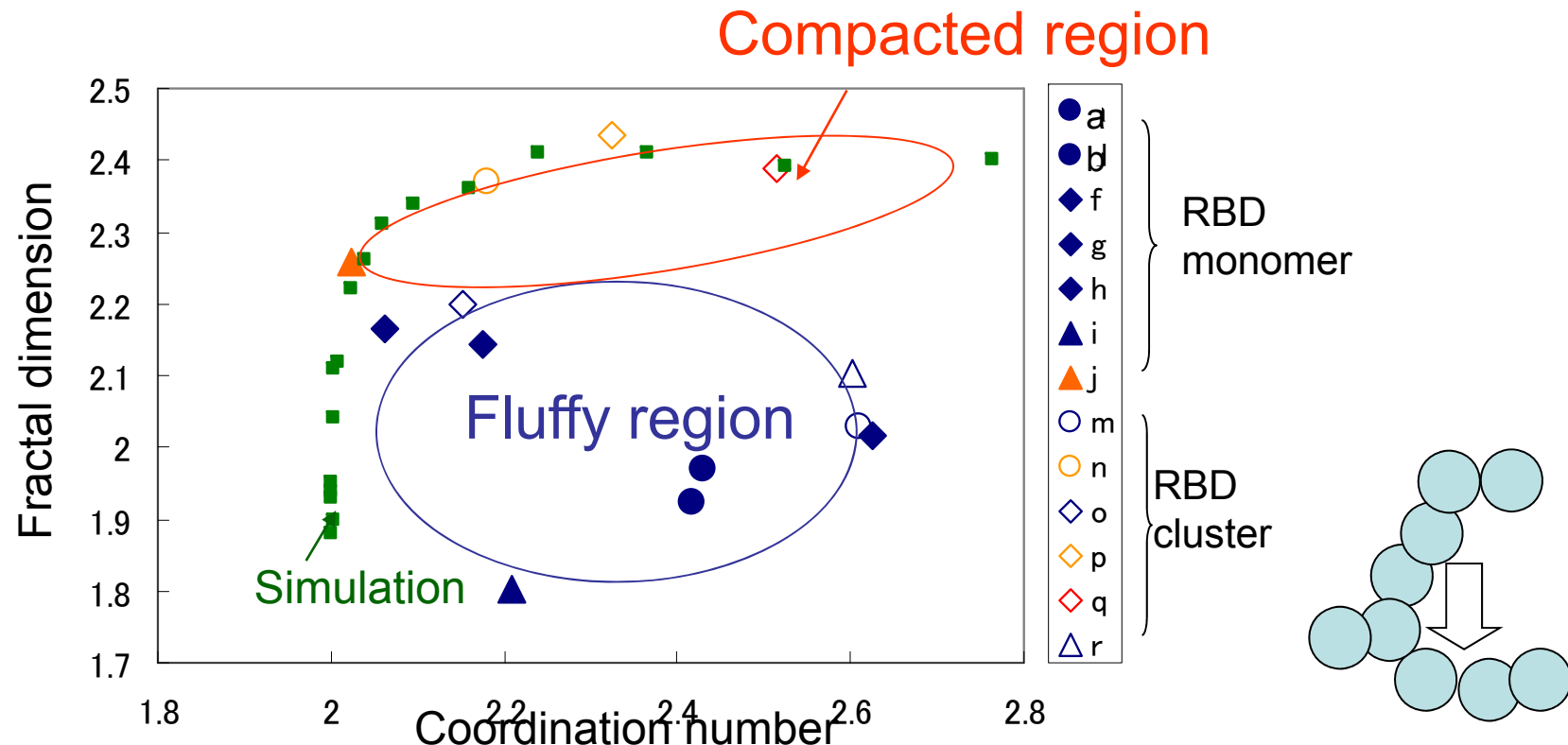
- Relation between coordination number and fractal dimension



Difference of structures between simulation and experiment



Comparison between the experiments and simulation.

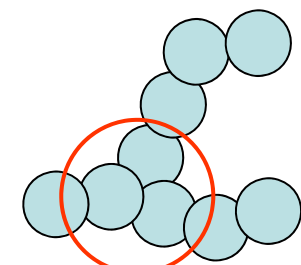
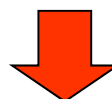
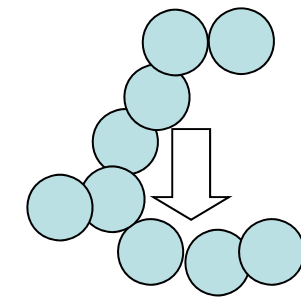


- 実験で作ったFluffyなダストアグリゲイトは、シミュレーションと比べ配位数が大きい。



フラクタル次元が同じでも....
異なった3次元構造を持っている

(e.g., Node, BCCA vs RBD)



Summary

- ・ダストアグリゲイトの模擬物質を実験的に作成し、その3次元構造をX線CTを用いて観察した。
- ・その結果、アグリゲイトの個々の粒子を認識することができ、アグリゲイトのフラクタル次元・配位数・粒子同士のつながりの角度を求めることが可能となつた。
- ・得られた結果を、BCCAの数値シミュレーションの結果と比較したところ、コンパクトな部分ではコンシスティントな結果が得られたが、Fluffy なものでは配位数に違いが見られ、同じフラクタル次元を持っていても、3次元構造が違うことが明らかになった。

